Fontaine bleau

N-403

NOTE GEOSTATISTIQUE Nº 128

PARAMETRAGE DE CONTOURS OPTIMAUX

G. MATHERON

Février 1975

## NOTE GEOSTATISTIQUE Nº 128

### PARAMETRAGE DE CONTOURS OPTIMAUX

## Table des Matières

0	_	INTRODUCTION.	1
1		LA CLASSE BET LE CONE CONVEXE &.	4
2	-	L'OPTIMISATION DE Q - XV.	10
		Théorème 2	13
		Commentaire :	15
		Positivité de l'opérateur q → Λ	18
3	***	GENERALISATION.	19
		Paramètrage non linéaire	20
4		LE CAS FINI.	22
		a/ Les relations tonnage-teneur	22
		b/ Le cone convexe	25
		$c/$ La fonction $\Lambda$	26
		d/ le théorème de projection	29
5		REALISATION PRATIQUE.	30
		5-1 - Théorème de Convergence et Conjecture	<b>3</b> 0
		5-2 - Cas d'un cone l'à base polygonale	34
		5-3 - Conditions de réalisation pratique	37
		5-4 - La méthode du bouclier de David	38
		5-5 - Variation des conditions imposées	41
6		POST SCRIPTUM.	43
7		RECHERCHE D'AUTRES ALGORITHMES.	49
		a/ Algorithme de l'ordre total	49
		b/ Utilisation de cones linéaires	52

#### NOTE GEOSTATISTIQUE Nº 128

## PARAMETRAGE DE CONTOURS OPTIMAUX

#### O - INTRODUCTION

Cette note est inspirée par le problème, bien classique, de la recherche d'un contour optimal pour une exploitation à ciel ouvert. Il m'a semblé intéressant d'en donner une formulation paramétrique, permettant la construction des relations tommage-teneur. Au lieu de chercher, séparément, pour chaque valeur  $\lambda$  du paramètre, le contour optimal  $B_{\lambda}$  correspondant, on cherche ici à déterminer d'un seul coup une fonction  $\Lambda(x)$  telle que, pour chaque  $\lambda$ , le contour optimal  $B_{\lambda}$  soit l'ensemble  $\{x:\Lambda(x)\geq\lambda\}$ . Cette fonction  $\Lambda$  est, en fait, la projection de la teneur sur un certain cône convexe  $\mathcal G$  de fonctions (d'où l'existence et l'unicité de  $\Lambda$ ).

Les éléments du problème sont les suivants :

a/ Le gisement réel (dans  $\mathbb{R}^3$ ) est généralement présenté sous forme discrétisée : il est découpé en blocs parallèlépipèdiques, définis chacun par leur centre  $x \in E$ , où E est donc un ensemble fini (l'ensemble des centres des blocs).

A chaque  $x \in E$  sont affectées deux grandeurs (supposées connues): le volume V(x) du bloc centré en x et la teneur q(x) de ce bloc, de sorte que la quantité de substance utile contenue dans ce bloc est  $Q(x) = q(x) \ V(x)$ . Pour chaque valeur du paramètre  $\lambda \ge 0$ , la valeur attribuée au bloc de centre x est  $\mu_{\lambda}(x) = Q(x) - \lambda V(x)$ .

Dans une formulation un peu plus générale, on supposera que la

valeur du bloc centré en x est  $\mu(x; \lambda, \theta...)$  avec une fonction  $\mu$  donnée dépendant (de manière non nécessairement linéaire) de plusieurs paramètres  $\lambda, \theta$  ...

Par exemple, si la fonction de transfert  $F_x(t) = \int_0^t f(x,\tau)d\tau$  du bloc x est connue, on prendra :

$$\mu(x; \lambda, \theta) = \int_{\theta}^{\infty} (t-\theta) f(x,t)dt - \lambda V(x)$$
$$= \int_{\theta}^{\infty} [1-F_{x}(t)]dt - \lambda V(x)$$

Ici, (à un facteur près)  $\lambda$  et  $\theta$  représentent, respectivement, les frais d'extraction et de traitement d'une tonne de minerai.

En fait, il n'y a pas lieu de se restreindre au cas où l'ensemble E est fini. Dans ce qui suit, <u>E sera un ensemble quelconque</u>, fini ou non, <u>muni d'une  $\sigma$ -algèbre  $\mathcal{Q}$ </u>. Sur  $(E,\mathcal{Q})$  on se donnera, suivant les cas, diverses <u>mesures bornées</u>:

- Une mesure positive V(dx) représentant le volume.
- Une mesure positive Q(dx) représentant la guantité de substance utile. Nous supposerons généralement que Q est absolument continue relativement à V, autrement dit qu'il existe une fonction  $x \to t(x)$  positive appelée teneur telle que Q(dx) = t(x) V(dx).
- Une mesure (non positive en général)  $\mu$  représentant la valeur et dépendant d'un ou plusieurs paramètres  $\lambda$ ,  $\theta$  ... Par exemple, dans le cas le plus simple :

(0-1) 
$$\mu_{\lambda}(dx) = (t(x) - \lambda) V(dx)$$

et dans le cas d'une fonction de transfert :

(0-2) 
$$\mu(\lambda,\theta; dx) = \left[\int_{\theta}^{\infty} [1-F_{x}(t)]dt - \lambda\right] V(dx)$$

En général, on supposera (ce qui est le cas pour les deux exemples précédents) que pour tout  $A \in \mathcal{C}$  la fonction  $\mu(\lambda,\theta;A)$  est continue en  $(\lambda,\theta)$ .

### b/ Les contours autorisés.

Dans le cas d'une carrière, à chaque  $x \in E$  correspond un cone  $\Gamma(x)$  de sommet x et l'on s'impose la contrainte suivante : si l'on extrait x, on doit aussi extraire tout  $y \in \Gamma(x)$ . Il s'agit d'une relation de <u>préordre</u>, car si l'extraction de x entraine celle de y et si l'extraction de y entraine celle de z, alors celle de x entraine celle de z. Autrement dit :

(0-3) 
$$y \in \Gamma(x) \Rightarrow \Gamma(y) \subset \Gamma(x) ; x \in \Gamma(x)$$

On interprètera  $y \in \Gamma(x)$  par : y = st un majorant de x, ou est au-dessus de x dans le préordre  $\Gamma$ .

Dans les problèmes usuels, où  $\Gamma(x)$  est un cone convexe de sommet x, la relation  $y \in \Gamma(x)$  est même un ordre (partiel) et pas seulement un préordre (car  $y \in \Gamma(x)$  et  $x \in \Gamma(y)$  entrainent alors x = y), mais cette particularité ne sera pas utilisée dans ce qui suit, où  $\Gamma$  peut être un préordre quelconque.

Dans ces conditions, un B  $\subset$  E correspond à un projet de carrière possible si pour tout  $x \in B$  on a  $\Gamma(x) \subset B$ , autrement dit si B contient les majorants de chacun de ses points.

Si E est fini, il n'y a pas lieu de s'imposer d'autres contraintes.

Dans le cas général, E sera un ensemble fini ou non muni du préordre défini par une application  $\Gamma$  de E dans  $\mathscr{P}(E)$  vérifiant (0-3). Il n'est pas nécessaire de supposer  $\Gamma(x) \in \mathcal{O}$  pour tout x (bien que cette relation soit vérifiée dans les applications envisageables). Mais il faut alors ne retenir parmi les ensembles B stables par  $\Gamma$  que ceux qui sont mesurables. Autrement dit, la classe  $\mathscr{P}(E)$  des ensembles admissibles est caractérisée par :

(0-4) 
$$B \in \mathcal{B} \Leftrightarrow B \in \mathcal{O} \subset \mathcal{A}$$
  $B = \bigcup \{\Gamma(x), x \in B\}$ 

Ceci implique que  $\phi$  et E appartiennent à  ${\mathcal B}$  .

### c/ Le problème.

Etant donnée une mesure (non positive)  $\mu$  sur (E,  $\alpha$ ), représentant la "valeur", et posant :

$$\gamma_{\mu} = \sup_{B \in \mathcal{B}} \mu(B)$$

le problème est d'examiner si ce  $\sup_{\mu} \gamma_{\mu}$  est atteint sur la classe  $\mathcal{B}$  et, dans l'affirmative, de caractériser la classe des  $B \in \mathcal{B}$  réalisant ce maximum. Plus généralement, si  $\mu$  dépend d'un ou plusieurs paramètres  $\lambda, \theta \ldots$ , il s'agira de trouver une représentation paramétrique commode des ensembles optimaux correspondants.

## 1 - LA CLASSE B ET LE CONE CONVEXE 9.

Caractérisons la classe  $\mathcal{B}$  ainsi définie par les relations (0-3) et (0-4). Le résultat essentiel est le suivant :

La classe B est stable pour la réunion et l'intersection dénombrables. Soit  $B_i$ ,  $i \in I$  une famille dans  $\mathcal{B}$ . Si  $x \in \bigcap B_i$  (resp.  $\bigcup B_i$ ) on a  $\Gamma(x) \subset B_i$  pour tout  $i \in I$  (resp. pour un  $i \in I$ ). Donc l'intersection (la réunion) B de cette famille vérifie  $\Gamma(B) \subset B$ . Si de plus I est dénombrable, on a aussi  $B \in \mathcal{A}$ , donc  $B \in \mathcal{B}$ .

Inversement, soit  $\mathcal{B}\subset\mathcal{O}$  une classe d'ensembles mesurables stable pour la réunion et l'intersection dénombrables. Cela implique déjà  $\phi$  et E  $\in$   $\mathcal{B}$ , de sorte que  $\mathcal{B}$  n'est pas vide. Pour tout x  $\in$  E, posons :

$$\Gamma(x) = \bigcap \{B : B \in \mathcal{B}, x \in B\}$$

L'application  $x \to \Gamma(x)$  vérifie (0-3). Car, si  $y \in \Gamma(x)$ , tout  $B \in \mathcal{B}$  contenant x contient aussi y et :

$$\Gamma(y) = \bigcap \{B \in \mathcal{B} , y \in B\} \subset \bigcap \{B \in \mathcal{B} , x \in B\} = \Gamma(x)$$

D'autre part, pour tout  $B \in \mathcal{B}$  en a, d'après la définition,  $\Gamma(x) \subset B$ , donc  $\Gamma(B) \subset B$ . Toutefois, la réciproque  $(B \in \mathcal{A} \text{ et } \Gamma(B) \subset B \text{ implique } B \in \mathcal{B})$  n'a pas de raison d'être vraie en général. Il faut (et il suffit) pour que cette réciproque soit vraie que  $\mathcal{B}$  vérifie de plus : pour toute famille  $B_i$ ,  $i \in I$  non dénombrable dans  $\mathcal{B}$ ,  $\bigcap B_i$  (resp.  $\bigcup B_i$ )  $\in \mathcal{A}$  entraine  $\bigcap B_i$  (resp.  $\bigcup B_i$ )  $\in \mathcal{B}$ . Ainsi :

Th. 1 - Une famille B ⊂ Ol admet la représentation (O-4) pour un préordre Γ sur E si et seulement si pour toute famille B<sub>i</sub>, i € I dénombrable ou non dans B:

Passons maintenant au cône convexe 9.

Etant donnée une famille  $\mathcal{B} \subset \mathcal{Q}$  stable pour l'union et l'intersection dénombrables, nous désignerons par  $\mathcal{F}$  l'ensemble des fonctions mesurables sur  $(E,\mathcal{Q})$  telles que  $\{f \geq \lambda\} \in \mathcal{B}$  pour tout réel  $\lambda$ :

De  $\{f > \lambda\} = \bigcup_{n=1}^{\infty} \{f \ge \lambda + \frac{1}{n}\}$  résulte aussitôt que les ensembles  $\{f > \lambda\}$  appartiennent aussi à  $\mathcal{B}$ .

Notons d'abord que  $\mathscr{G}$  contient les constantes positives ou non ; que f, g  $\in \mathscr{G}$   $\Rightarrow$  Sup (f,g) et Inf (f,g)  $\in \mathscr{G}$ , autrement dit que  $\mathscr{G}$  est réticulé ; et que  $\mathscr{G}$  est stable pour les limites monotones séquentielles  $\uparrow$  et  $\downarrow$ .

Les combinaisons linéaires finies à coefficients positifs :

$$f = \sum_{k=1}^{n} C_i 1_{B_i}, C_i \ge 0, B_i \in \mathcal{C}$$

d'indicatrices d'ensembles de  $\mathcal B$  sont dans  $\mathcal F$ . En effet, si f est de cette forme,  $\{f \geq \lambda\}$  est la réunion des  $B_i \cap \cdots \cap B_i$  tels que  $C_{i_1} + \cdots + C_{i_p} \geq \lambda$ , donc est dans  $\mathcal B$ .

Inversement, tout  $f \in \mathcal{S}$  est limite monotone de telles combinaisons linéaires finies. En effet,  $\mathcal{S}$  étant réticulé,  $f_+$  et  $f_-$  et  $f_-$  dès que  $f \in \mathcal{S}$ , et il suffit donc d'établir la propriété pour  $f \in \mathcal{S}$ ,  $f \ge 0$ . Posons

$$\begin{cases} f_n = \sum_{k=0}^{2^{2n}-1} \frac{k}{2^n} & 1_{\frac{k}{2^n} \le f < \frac{k+1}{2^n}} + 2^n & 1_{f \ge 2^n} \\ = \sum_{k=1}^{2^{2n}} \frac{1}{2^n} & 1_{f \ge \frac{k}{2^n}} \end{cases}$$

On a donc  $f_n \in \mathcal{B}$ , comme combinaison linéaire finie à coefficients  $\geq 0$  d'indicatrices d'ensembles de  $\mathcal{B}$ , et  $f_n \uparrow f$ . Il en résulte en particulier que  $\mathcal{F}$  est un cône convexe. En résumé :

 $\mathcal{G}$  est le cône convexe stable pour les continuités monotones séquentielles  $\uparrow$  et  $\downarrow$  engendré par les constantes (positives ou non) et les indicatrices des ensembles de  $\mathcal{G}$ .

En particulier,  $\mathcal{G}$  est <u>dénombrablement réticulé</u> (i.e.: pour toute suite  $\{f_n\}$  dans  $\mathcal{G}$ , Sup  $f_n$  et Inf  $f_n \in \mathcal{G}$ ) et <u>stable pour la convergence ponctuelle</u> ( $\{f_n\} \subset \mathcal{G}$  et  $\lim f_n(x) = f(x)$  pour tout  $x \in E$  entraine  $f \in \mathcal{G}$ ).

Dans la suite, nous munirons  $(E, \mathcal{O})$  d'une mesure  $V \ge 0$  et nous désignerons encore par  $\mathcal{G}$  la famille des classes de V-équivalences des  $f \in \mathcal{G}$ . Les propriétés précédentes restent alors vraies au sens V-presque partout.

Inversement, d'ailleurs :

Si  $\mathcal{G}$  est un cône convexe de fonctions mesurables, contenant les constantes, réticulé et stable pour les convergences monotones séquentielles  $\uparrow$  et  $\downarrow$ , il existe une classe  $\mathcal{B} \subset \mathcal{A}$  stable pour l'union et l'intersection dénombrables telle que :

$$(1-3) \qquad \text{if } \mathcal{G} \implies \{\text{f} \geq \lambda\} \in \mathcal{G} \qquad \forall \lambda \in \mathbb{R}$$

Pour le voir, on note que pour tout f & & on a :

 $f_{+} = f \lor 0 \in \mathcal{G}$ , puis  $f_{+} \land a \in \mathcal{G}$  et

 $1_{f>0} = \lim_{\alpha \downarrow 0} 1_{f>0} \in \mathcal{G}$  . D'où  $1_{f \ge \lambda} \in \mathcal{G}$  ,  $\forall \lambda \in \mathbb{R}$ 

On prend alors pour  ${\cal B}$  la classe des  $\{f \geq \lambda\}_{,} f \in {\cal G}$  . Pour toute fonction mesurable g, la suite

$$g_n = \sum_{k=1}^{2^{2n}} \frac{1}{2^n} \quad 1_{g \ge \frac{k}{2^n}}$$

vérifie  $g_n \uparrow g$ , ce qui justifie l'énoncé.

Si la <u>famille B est définie par un préordre Γ comme dans le</u>
Th. 1, <u>le cone convexe G est constitué des fonctions f mesurables croissantes pour le préordre Γ</u>, i.e. vérifiant:

$$(1-4) y \in \Gamma(x) \Rightarrow f(y) \geq f(x)$$

En effet, soit f une fonction mesurable. Posons  $B_{\lambda} = \{f \geq \lambda\} \in \mathcal{I}$  pour tout réel  $\lambda$ . Mais  $(B_{\lambda} \text{ étant dans } \mathcal{O})$  d'après la définition de  $\mathcal{G}$  on a  $B_{\lambda} \in \mathcal{B}$  si et seulement si  $x \in B_{\lambda}$  et  $y \in \Gamma(x) \Rightarrow y \in B_{\lambda}$ . Mais ceci veut dire :  $f(x) \geq \lambda$  et  $y \in \Gamma(x) \Rightarrow f(y) \geq \lambda$ . Cette condition est donc vérifiée si et seulement si f est croissante pour  $\Gamma$ .

REMARQUE - A toute fonction f mesurable, nous pouvons associer les familles d'ensembles mesurables:

$$A_{\lambda}^{-} = \{x : f(x) > \lambda\}$$
,  $A_{\lambda}^{+} = \{x : f(x) \ge \lambda\}$ 

(définis éventuellement presque partout seulement si l'on travaille sur des classes de V-équivalence de fonctions),  $\lambda$  parcourant la droite achevée  $[-\infty, +\infty]$ . Ce sont des familles décroissantes en  $\lambda$  vérifiant  $A_{\lambda}^{-} \subset A_{\lambda}^{+}$  et  $A_{\lambda}^{+} \subset A_{\lambda}^{-}$ , pour  $\lambda > \lambda'$ . Plus précisément :

Dans ces conditions, en tout x ∈ E, on a

(1-5) 
$$f(x) = \sup \{\lambda : x \in A_{\lambda}^{+}\}\$$

En effet, d'après la définition de  $A_{\lambda}^{+}$ ,  $x \in A_{\lambda}^{+}$  équivaut à  $f(x) \geq \lambda$ , donc Sup  $\{\lambda : x \in A_{\lambda}^{+}\} \leq f(x)$ . Mais  $x \in A_{f(x)}^{+}$  et par suite Sup  $\{\lambda : x \in A_{\lambda}^{+}\} \geq f(x)$ , d'où (1-5).

La réciproque est vraie, autrement dit :

Une famille  $A^+_\lambda$  d'ensembles mesurables est associée à une fonction mesurable f par les formules réciproques :

$$A_{\lambda}^{+} = \{x : f(x) \ge \lambda\}$$

$$f(x) = \sup \{\lambda : x \in A_{\lambda}^{+}\}$$

si et seulement si la famille  $A_{\lambda}^{+}$  est décroissante en  $\lambda$  et vérifie la continuité monotone :

$$(1-6) A_{\lambda}^{+} = \bigcap_{\lambda \leq \lambda} A_{\lambda}^{+} (\lambda, \lambda^{!} \in [-\infty, +\infty])$$

En effet, il reste à montrer que si une famille croissante vérifie (1-6) et si f est définie par (1-5), alors  $A_{\lambda}^{+} = \{x : f(x) \geq \lambda\}$ . Posons  $C_{\lambda} = \{x : f(x) \geq \lambda\}$ . Si  $x \in A_{\lambda}^{+}$ , on a  $f(x) \geq \lambda$  par définition, donc  $x \in C_{\lambda}$  et  $A_{\lambda}^{+} \subset C_{\lambda}$ . Inversement, si  $x \in C_{\lambda}$ , on a  $f(x) \geq \lambda$ . D'après la définition (1-5), cela implique  $x \in A_{\lambda}^{+}$ , pour tout  $\lambda' < \lambda$ . Donc  $x \in \bigcap_{\lambda' > \lambda} A_{\lambda'}^{+} = A_{\lambda}^{+}$ , d'après (1-6), c'est-à-dire  $C_{\lambda} \subset A_{\lambda}^{+}$  et  $C_{\lambda} = A_{\lambda}^{+}$ .

On a un énoncé analogue pour les ensembles :

$$A_{\lambda} = \{x : f(x) > \lambda\}$$

à condition de remplacer (1-6) par :

$$(1-7) A_{\lambda}^{-}, = \bigcup_{\lambda > \lambda}, A_{\lambda}^{-}$$

$$2 - \underline{L'OPTIMISATION DE Q - \lambda V}$$
.

Soit V une mesure > 0 sur E, Q une mesure positive absolument continue par rapport à V et q sa densité, i.e.:

$$Q(dx) = q(x) V(dx)$$

(la mesure V est appelée volume, et la fonction positive q est la teneur). Pour l'instant, nous supposons essentiellement :

(2-1) 
$$q \in L^2(E, Q, V)$$

(nous nous affranchirons ultérieurement de cette restriction). Désignons par  $\mathcal{G}_2 = \mathcal{G} \cap \mathbf{L}^2$  la restriction de  $\mathcal{G}$  à  $\mathbf{L}^2$ .  $\mathcal{G}_2$  est un cone convexe fermé dans  $\mathbf{L}^2$ . En effet, si une suite  $\{\mathbf{f}_n\}$  dans  $\mathcal{G}_2$  converge vers f au sens de  $\mathbf{L}^2$ , on sait qu'on peut en extraire une suite partielle  $\{\mathbf{f}_{n_k}\}$  convergeant vers f presque partout pour V. Mais  $\mathcal{G}$  est stable pour la convergence p.p., donc  $\mathbf{f} \in \mathcal{G} \cap \mathbf{L}^2$ , et  $\mathcal{G}_2$  est fermé.

Nous pouvons donc appliquer le théorème des projections. Soit  $\Lambda \ \underline{ \ \ } \ \underline{ \ \ \ } \ \underline{ \ \ \ } \ \underline{ \ \ \ } \ \underline{ \ \ } \ \underline{ \ \ } \ \underline{ \ \ \ } \ \underline{ \ \ } \ \underline{$ 

Mais  $\mathcal{G}_2$  est un cone et  $\Lambda \in \mathcal{G}_2$ . Donc pour tout a  $\geq 0$  on a a  $\Lambda \in \mathcal{G}_2$  et par suite, d'après (2-2)

$$a < \Lambda$$
,  $\Lambda - q > \geq < \Lambda$ ,  $\Lambda - q > \forall a \geq 0$ 

ceci entraine  $< \Lambda$ ,  $\Lambda$ -q > = 0.

Par suite, la projection A de la teneur q est caractérisée comme l'unique élément vérifiant :

En particulier, les constantes réelles (positives ou non) sont dans  $\mathcal{G}_2$ , donc a < 1,q >  $\leq$  a < 1, $\Lambda$  > pour tout a  $\geq$  0 ou  $\leq$  0. Par suite < 1,q > = < 1, $\Lambda$  > , c'est-à-dire :

(2-3) 
$$\int_{E} q(x) V(dx) = \int_{E} \Lambda(x) V(dx)$$

Λ a même valeur moyenne dans E que la teneur q.

Désignons par  $\mathcal{G}_{\Lambda}$  le sous-cône des f  $\in \mathcal{G}_2$  tels que l'on ait :  $< \Lambda - q$  , f > = 0

D'après (2-3) et la seconde relation (2-2), les constantes et  $\Lambda$  sont dans  $\mathcal{G}_{\Lambda}$ .  $\mathcal{G}_{\Lambda}$  est manifestement <u>fermé</u> dans  $\mathbf{L}^2$ . Montrons qu'il est <u>réticulé</u>. En effet, si f et g sont dans  $\mathcal{G}_{\Lambda}$ , on trouve :

(2-4) 
$$0 = \langle f+g, \Lambda-q \rangle = \langle f \forall g, \Lambda-q \rangle + \langle f \Lambda g, \Lambda-q \rangle$$

Or, f  $\forall$  g et f  $\land$  g sont dans  $\mathcal{G}$ , puisque  $\mathcal{G}$  est réticulé, et par suite d'après (2-2), les deux termes du second membre de (2-4) sont  $\geq$  0. Ils sont donc nédessairement nuls, et f  $\forall$  g, f  $\land$  g  $\in$   $\mathcal{G}_{\Lambda}$ .

Etant fermé, réticulé et contenant les constantes,  $\mathcal{G}_{\Lambda}$  contient les indicatrices  $\mathbf{1}_{\mathbf{f} \geq \lambda}$ ,  $\mathbf{1}_{\mathbf{f} > \lambda}$  pour tout réel  $\lambda$  et tout  $\mathbf{f} \in \mathcal{G}_{\Lambda}$ .

En particulier, les ensembles

$$B_{\lambda}^{+} = \{x : \Lambda(x) \geq \lambda\}$$

$$\mathbb{B}_{\lambda}^{-} = \{x : \Lambda(x) > \lambda\}$$

sont dans  $\mathcal{L}_{\Lambda}$ , soit pour tout réel  $\lambda$ :

(2-5) 
$$\int_{\Lambda \geq \lambda} q(x) V(dx) = \int_{\Lambda \geq \lambda} \Lambda(x) V(dx)$$

Cette relation est équivalente à :

$$\int \varphi(\Lambda) \ q \ V = \int \varphi(\Lambda) \ \Lambda \ V$$

pour toute fonction mesurable  $\phi$ , et exprime (si V a été normée à l'unité, ce que l'on peut toujours supposer) que l'espérance de q conditionnelle en  $\Lambda$  est égale à  $\Lambda$ :

$$E(q | \Lambda) = \Lambda$$

En particulier, (2-5) implique  $< \Lambda-q$ ,  $\Lambda > = 0$ .

Comme  $\mathcal{G}_2$  est engendré (par combinaisons linéaires positives) à partir des indicatrices  $\mathbf{1}_A$ ,  $\mathbf{A} \in \mathcal{B}$ , il en résulte que les relations (2-2) sont équivalentes au système suivant :

qui caractérise donc la projection A de la teneur.

Passons maintenant au problème de la recherche des ensembles  $B \in \text{B} \quad \text{maximisant la mesure } \mu_{\lambda} = (q-\lambda) \ \text{V} \ \text{pour un } \lambda \ \text{donn\'e. Posons} \ \text{:}$ 

$$\gamma_{\lambda} = \sup_{B \in \mathcal{B}} \mu_{\lambda}(B)$$

Le résultat essentiel est le suivant :

Th. 2 - Le Sup des  $\mu_{\lambda}(B)$ ,  $\underline{B} \in \mathcal{B}$  est atteint par les ensembles

$$B_{\lambda}^{-} = \{ \Lambda > \lambda \} \text{ et } B_{\lambda}^{+} = \{ \Lambda \geq \lambda \}$$

(définis V-p.p.). De plus, on a  $B_{\lambda}^- \subset B_{\lambda}^+$  (V-p.p.), et tout autre  $B \in \mathcal{B}$  maximisant  $\mu_{\lambda}$  (s'il en existe) vérifie :

$$B_{\lambda}^- \subset A \subset B_{\lambda}^+ \quad (V \text{ p.p.})$$

Enfin, la classe  $\mathcal{B}_{\lambda}$  des B  $\in \mathcal{B}$  maximisant  $\mu_{\lambda}$ (B) est stable pour la réunion et l'intersection dénombrables.

La démonstration repose essentiellement qur les relations (2-6) qui caractérisent  $\Lambda$ . D'après la 3ème de ces relations, pour tout  $\Lambda \in \mathcal{P}_{0}$ , on a :

(a) 
$$\mu_{\lambda}(A) = \int_{A} dV - \lambda \int_{A} dV \leq \int_{A} (\Lambda - \lambda) dV \leq \int_{B_{\lambda}} (\Lambda - \lambda) dV$$

In dernière inégalité (avec  $B_{\lambda} = B_{\lambda}^{+}$  ou  $B_{\lambda} = B_{\lambda}^{-}$ ) résulte de ce que  $\int_{\Lambda > \lambda} (\Lambda - \lambda) dV = \int_{\Lambda > \lambda} (\Lambda - \lambda) dV$  maximise évidemment  $\int_{\Lambda} (\Lambda - \lambda) dV$ ,  $\Lambda \in \mathcal{B}$  (où même ici  $\Lambda \in \mathcal{O}$ ).

D'autre part, la seconde relation (2-6) donne :

(b) 
$$\mu_{\lambda}(B_{\lambda}) = \int_{B_{\lambda}} (q-\lambda) dV = \int_{B_{\lambda}} (\Lambda-\lambda) dV$$

Par suite le Sup des  $\mu_{\lambda}(A)$ ,  $A \in \mathcal{B}$ , soit  $\gamma_{\lambda}$  vérifie  $\gamma_{\lambda} \leq \int\limits_{B_{\lambda}} (\Lambda - \lambda) dV = \mu_{\lambda}(B_{\lambda})$ , d'après (a) et d'après (b)

Donc  $B_{\lambda} = B_{\lambda}^{+}$  ou  $B_{\lambda}^{-}$  réalise effectivement le Sup.

L'inclusion  $B_{\lambda}^{-} \subset B_{\lambda}^{+}$  (V-p.p.) résulte de la définition même de ces ensembles. Soit maintenant  $A \in \mathcal{F}$  un autre ensemble optimal (s'il en existe), c'est-à-dire tel que  $\mu_{\lambda}(A) = \gamma_{\lambda}$ . D'après les inégalités (a), cela entraine  $\mu_{\lambda}(A) = \int_{A} (\Lambda - \lambda) dV$ , donc  $\int_{A} dV = \int_{A} \Lambda dV$ , c'est-à-dire <  $\Lambda$ -q,  $1_{A} > 0$ . Par suite,  $1_{A}$  appartient au sous-cône réticulé  $\mathcal{G}_{\Lambda} \subset \mathcal{G}_{2}$  des  $f \in \mathcal{G}_{2}$  telles que <  $\Lambda$ -q, f > 0. L'égalité :

$$\int_{\mathbf{C}} \mathbf{q} \ dV = \int_{\mathbf{C}} \Lambda \ dV$$

a donc lieu sur tout C appartenant à l'algèbre engendrée par A,  $B_{\lambda}^+$  et  $B_{\lambda}^-$ . Donc nous avons :

$$\mu_{\lambda}(A) = \int_{A \cap B_{\lambda}^{-}} (\Lambda - \lambda) + \int_{(A \cap B_{\lambda}^{+}) \cap \beta B_{\lambda}^{-}} (\Lambda - \lambda) + \int_{A \cap \beta} (\Lambda - \lambda)$$

Le second terme est nul, puisque  $\Lambda = \lambda$  sur  $B_{\lambda}^{+} \cap \beta$   $B_{\lambda}^{-}$ . Le troisième est  $\leq 0$ , et = 0 si et seulement si  $A \subset B_{\lambda}^{+}$  (V-p.p.), puisque  $\Lambda < \lambda$  sur  $\beta$   $B_{\lambda}^{+}$ . Enfin, le premier terme est  $\leq$  à  $\int_{B_{\lambda}^{-}} (\Lambda - \lambda) d\lambda$  =  $\gamma_{\lambda}$ , avec égalité si et seulement si  $A \cap B_{\lambda}^{-} = B_{\lambda}^{-}$ , c'est-à-dire  $B_{\lambda}^{-} \subset A$  (V-p.p.). Donc l'égalité  $\mu_{\lambda}(A) = \gamma_{\lambda}$  entraîne bien

$$B_{\lambda}^- \subset A \subset B_{\lambda}^+ \quad (V-p \cdot p \cdot)$$

La classe  $\mathcal{B}_{\lambda}$  des B  $\in$   $\mathcal{B}$  tels que  $\mu_{\lambda}(B) = \gamma_{\lambda}$  est stable pour les convergences monotones séquentielles  $\uparrow$  et  $\downarrow$ . Si B et B' sont dans  $\mathcal{B}_{\lambda}$ , on a  $\mu_{\lambda}(B \cup B') + \mu_{\lambda}(B \cap B') = \mu_{\lambda}(B) + \mu_{\lambda}(B') = 2 \gamma_{\lambda}$ .

Comme  $\mu_{\lambda}(B \cup B')$  et  $\mu_{\lambda}(B \cap B')$  sont  $\leq \gamma_{\lambda}$ , il en résulte  $\mu_{\lambda}(B \cup B') = \mu_{\lambda}(B \cap B') = \gamma_{\lambda}$ , soit  $B \cup B'$  et  $B \cap B' \in \mathcal{B}_{\lambda} : \mathcal{B}_{\lambda}$  est donc stable pour U et  $\cap$  dénombrables.

COROLLAIRE - Pour 
$$\lambda > \lambda^{\circ}$$
, on a  $B_{\lambda}^{+} \subset B_{\lambda}^{-}$ ,  $(V-p.p.)$ .

En effet, si  $\lambda > \lambda'$  strictement,  $\Lambda(x) \geq \lambda$  entraine  $\Lambda(x) > \lambda'$ .

#### Commentaire.

La fonction  $\Lambda$  permet le "paramètrage des réserves", en fonction du "paramètre économique"  $\lambda$ . Pour un  $\lambda$  donné, les ensembles minimisant  $\mu_{\lambda}(B)$  sur les "projets possibles"  $B \in \mathcal{B}$  sont  $B_{\lambda}^{-}$ ,  $B_{\lambda}^{+}$  (et, éventuellement, des ensembles intermédiaires). Pour chaque  $\lambda$ , on posera :

$$V_{\lambda}^{+} = V(B_{\lambda}^{+})$$
;  $V_{\lambda}^{-} = V(B_{\lambda}^{-})$ 

$$Q_{\lambda}^{+} = Q(B_{\lambda}^{+})$$
;  $Q_{\lambda}^{-} = Q(B_{\lambda}^{-})$ 

Ce sont les quantités de minerai et de substance utile associées aux deux projets optimaux  $B_\lambda^+$  et  $B_\lambda^-$  . Quant à la quantité

$$\gamma_{\lambda} = Q_{\lambda}^{+} - \lambda V_{\lambda}^{+} = Q_{\lambda}^{-} - \lambda V_{\lambda}^{-}$$

elle représente le "bénéfice optimal" associé à λ. Notons les résultats suivants :

 $\gamma_{\lambda}$  est continu et décroissant en  $\lambda$ ;  $Q_{\lambda}^{+}$  et  $V_{\lambda}^{+}$  sont décroissants et continus à gauche;  $Q_{\lambda}^{-}$  et  $V_{\lambda}^{-}$  sont décroissants et continus à droite.

En effet, soit  $\lambda > \lambda'$ . On a:

$$\gamma_{\lambda}$$
, =  $\mu_{\lambda}$ ,  $(B_{\lambda}$ ,  $) \geq \mu_{\lambda}$ ,  $(B_{\lambda}) \geq \mu_{\lambda}(B_{\lambda}) \geq \mu_{\lambda}(B_{\lambda}$ ,  $) \geq \mu_{\lambda}$ ,  $(B_{\lambda}$ ,  $) - \varepsilon$ 

pour  $\lambda - \lambda'$  assez petit (la 1ère et la 3ème inégalité résultent de la maximalité, la 2ème de  $\mu_{\lambda}$ ,  $\geq \mu_{\lambda}$ , et la quatrième de la continuité de  $\lambda \to \mu_{\lambda}(A) = Q(A) - \lambda$  V(A) uniforme en  $A \in \mathcal{O}_{\mathcal{F}}$ . Si  $\lambda' \uparrow \lambda$ , il en résulte  $\mu_{\lambda}(B_{\lambda}) \to \mu_{\lambda}(B_{\lambda})$ , et de même si  $\lambda \downarrow \lambda' \mu_{\lambda}(B_{\lambda}) \to \mu_{\lambda}(B_{\lambda})$ :  $\gamma_{\lambda}$  est bien continu et décroissant. Les propriétés de décroissance et de continuité à gauche de  $V_{\lambda}^{+}$  et  $Q_{\lambda}^{+}$  résultent, par continuité monotone, de la relation (1-6), qui s'écrit :

$$B_{\lambda}^{+} = \bigcap_{\lambda \leq \lambda} B_{\lambda}^{+}$$

De même, les propriétés de  $V_{\lambda}^-$  et  $Q_{\lambda}^-$  proviennent de :

$$B_{\lambda}^{-}$$
, =  $\bigcup_{\lambda > \lambda}$ ,  $B_{\lambda}^{-}$ 

Il est intéressant de mettre ce paramètrage en relation avec le problème qui consiste à trouver  $A \in \mathcal{B}$  (s'il existe) maximisant Q(A) pour un volume  $V(A) \le v$  donné. Le résultat est le suivant :

S'il existe un  $\lambda$  tel que  $v = V(B_{\lambda}^{+})$  (resp.  $v = V(B_{\lambda}^{-})$ ) alors  $B_{\lambda}^{+}$  (resp.  $B_{\lambda}^{-}$ ) réalise Sup {Q(A), A  $\in \mathcal{O}$ , V(A)  $\leq v$ }. Dans le cas général,  $\lambda_{0} = \text{Inf } \{\lambda : V(B_{\lambda}^{-}) \leq v\}$  vérifie  $V(B_{\lambda_{0}}^{-}) \leq v \leq V(B_{\lambda_{0}}^{+})$  et pour tout  $A \in \mathcal{O}$ 

$$Q(A) \leq Q_{\lambda_0}^- + \lambda_0(v - V_{\lambda_0}^-) = Q_{\lambda_0}^+ - \lambda_0(V_{\lambda_0}^+ - v)$$

avec égalité si et seulement si A est l'un des ensembles maximisant  $Q = \lambda_O^V$  .

En effet, si  $\mathbf{v} = V(B_{\lambda}^{+})$  (ou  $V(B_{\lambda}^{-})$ ) pour un  $\lambda$ ,  $Q(B_{\lambda}^{+}) - \lambda \ V(B_{\lambda}^{+}) \ge Q(A) - \lambda \ V(A)$  donne  $Q(B_{\lambda}^{+}) \ge Q(A)$  pour tout  $A \in \mathcal{B}$  tel que  $V(A) \le \mathbf{v} = V(B_{\lambda}^{+})$ :  $Q(B_{\lambda}^{+})$  réalise donc le maximum de Q(A) à  $V(A) \le \mathbf{v}$ .

Dans le cas général, posons  $\lambda_0 = \inf \{\lambda : V(B_{\overline{\lambda}}) \le v\}$ . Comme  $V_{\overline{\lambda}}^-$  est continu à droite, il en résulte  $V(B_{\overline{\lambda}_0}^-) \le v$ . On a aussi  $V(B_{\lambda_0}^+) \ge v$ , car  $V_{\lambda}^+$  est continu à gauche : si  $V(B_{\lambda_0}^+) < v$ , il existe  $\lambda < \lambda_0$  tel que  $V(B_{\overline{\lambda}}^-) \le V(B_{\lambda}^+) < v$  contrairement à la définition de  $\lambda_0$ .

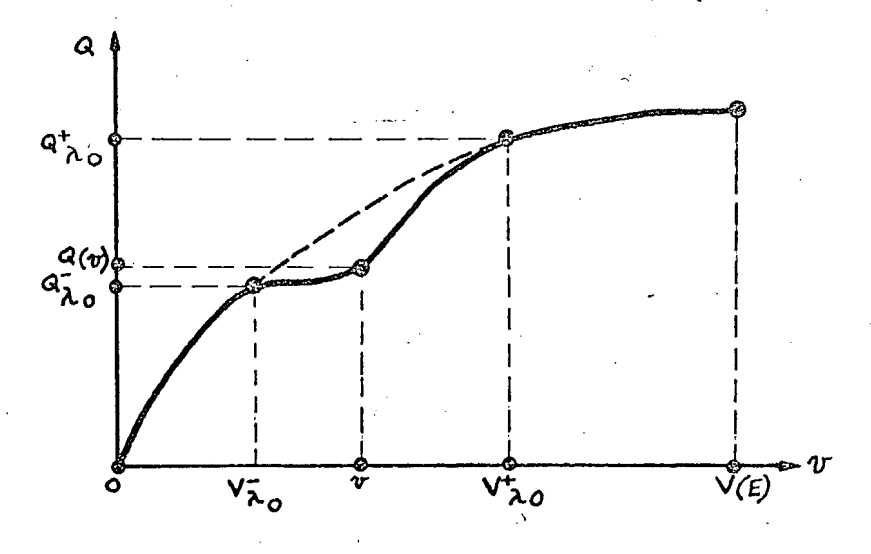
Compte tenu de la maximalité de  $B_{\lambda_0}^+$  (par exemple), on trouve ensuite  $Q(A) - \lambda_0$   $V(A) \le Q(B_{\lambda_0}^+) - \lambda_0$   $V(B_{\lambda_0}^+)$ , donc, pour tout A tel que  $V(A) \le v \le V_{\lambda_0}^+$ :

$$Q(A) \leq Q_{\lambda_0}^+ + \lambda_0(v - V_{\lambda_0}^+) = Q_{\lambda_0}^- + \lambda_0(v - V_{\lambda_0}^-)$$

avec égalité si et seulement si  $Q(A) - \lambda_O(V(A) = Q(B_\lambda^+) - \lambda_O V(B_{\lambda_O}^+)$  =  $\gamma_\lambda$ , donc si A réalise l'optimum de  $Q - \lambda_O V$  (ce qui implique  $B_{\lambda_O}^- \subset A \subset B_{\lambda_O}^+$ ).

<u>Graphiquement</u>, considérons la fonction  $v \rightarrow Q(v)$  avec :

$$Q(v) = Sup \{Q(A), A \in \mathcal{B}, V(A) \le v\}$$



C'est une fonction non décroissante.

L'ensemble

$$\{(Q,v), Q \leq Q(v)\}$$

n'est pas convexe, en général, mais son enveloppe convexe est l'inter-

section des demi-plans  $\{(Q,v), Q - \lambda v \leq \gamma_{\lambda}\}$  et les points d'appui de chaque demi-plan  $\{Q-\lambda_{0}v \leq \gamma_{\lambda_{0}}\}$  sont les deux points  $(Q_{\lambda_{0}}^{-}, V_{\lambda_{0}}^{-})$ 

et  $(Q_{\lambda_0}^+, V_{\lambda_0}^+)$ , plus, éventuellement, les (Q(A), V(A)) pour les autres  $A \in \mathcal{B}$  maximisant  $Q - \lambda_0 V$ .

EXEMPLE - Si E est la demi-droite positive  $\mathbb{R}_+$ , V la mesure de Iebesque et si  $\mathcal{B}$  est formé des intervalles (ouverts ou fermés) (0,x), on a  $Q(v) = \int_0^v q(x) dx$ , et l'enveloppe convexe de  $\{(Q,v), Q \leq Q(v)\}$  permet d'obtenir sans peine les  $B_\lambda^-$ ,  $B_\lambda^+$  et les Q correspondants : il suffit de prendre les points d'appui de la droite d'appui parallèle à  $Q - \lambda V = C$ ste. C'est cette enveloppe convexe qui définit l'intégrale  $\int_0^X \Lambda(y) dy$ . Par dérivation, on en déduit  $\Lambda(y)$  elle-même - qui est la meilleure approximation de q par une fonction décroissante.

#### Positivité de l'opérateur q → Λ.

L'opérateur de projection sur le  $\operatorname{\mathfrak{Cone}}$   $\mathcal G$  est  $\operatorname{\underline{positif}}$  : autrement dit :

$$(1-7) q \leq q' \Rightarrow \Lambda \leq \Lambda'$$

Montrons d'abord que, si  $q \leq q'$ , on a  $B_{\lambda} \subset B_{\lambda}^{+}$  (V-p.p.) pour chaque  $\lambda$ . Posons  $C = B_{\lambda} \cap B_{\lambda}^{'} \in \mathcal{F}_{\lambda}$ . On a  $\mu_{\lambda}(C) \leq \mu_{\lambda}(B_{\lambda}^{-})$ , puisque  $B_{\lambda}^{-}$  est optimal, donc  $\mu_{\lambda}(B_{\lambda}^{-} \setminus C) \geq \mu_{\lambda}(B_{\lambda}^{-} \setminus C) \geq 0$ . Mais  $B_{\lambda}^{'+} \cup (B_{\lambda}^{-} \setminus C) \leq B_{\lambda}^{'+} \cup B_{\lambda}^{-} \in \mathcal{F}_{\lambda}^{-}$  et  $\mu_{\lambda}(B_{\lambda}^{'+} \cup (B_{\lambda}^{-} \setminus C)) = \mu_{\lambda}(B_{\lambda}^{'+}) + \mu_{\lambda}(B_{\lambda}^{-} \setminus C) \leq 0$ . Donc :  $\mu_{\lambda}(B_{\lambda}^{'+})$  (par maximalité) donne  $\mu_{\lambda}(B_{\lambda}^{-} \setminus C) \leq 0$ . Donc :

$$\mu_{\lambda}^{\prime}(B_{\lambda}^{-} \setminus C) = \mu_{\lambda}(B_{\lambda}^{-} \setminus C) = 0$$

et par différence  $V(B_{\lambda}^{-} \setminus C) = 0$ . Donc

$$B_{\lambda}^- \subset B_{\lambda}^{'+} \quad V-p.p.$$

Cela veut dire:

$$\Lambda > \lambda \Rightarrow \Lambda' \geq \lambda$$

Or, pour tout  $x \in E$  et tout  $\varepsilon > 0$ , on a  $x \in B_{\Lambda(x)-\varepsilon}$ ,  $(x) > \Lambda(x) - \varepsilon$ , donc  $\Lambda'(x) > \Lambda(x) - \varepsilon$ . Par suite, en faisant  $\varepsilon \downarrow 0$ , on a bien  $\Lambda' \geq \Lambda$ .

#### 3 - GENERALISATION.

Dans le théorème précédent, nous avons supposé  $q \in L^2(E, \mathcal{O}, V)$  et nous devons maintenant lever cette restriction.

La première étape consiste à établir l'existence de B  $\in$   $\mathcal{B}$  maximisant  $\mu(A)$ ,  $A \in \mathcal{B}$  pour une mesure bornée  $\mu$  quelconque.

Th. 3 - Soit  $\mu$  une mesure bornée (non positive) sur (E, O) et V une mesure positive quelconque telle que V  $\geq |\mu|$ . Alors, il existe deux ensembles B et B tels que :

$$\mu(B^+) = \mu(B^-) = \sup_{A \in \mathcal{B}} \mu(A)$$

et B  $\subset$  B  $^+$  (V. p.p.). De plus, l'ensemble  $\mathcal{B}_0$  des B  $\in \mathcal{B}$  maximisant  $\mu(A)$ ,  $A \in \mathcal{B}$  est stable pour l'union et l'intersection dénombrables, et tout B  $\in \mathcal{B}_0$  vérifie : B  $\subset$  B  $\subset$  B  $\subset$  B  $\subset$  C  $\cap$  C

En effet, soit  $\mu=\mu_+-\mu_-$  la décomposition de Jordan de  $\mu$  ,  $|\mu|=\mu_++\mu_-$  et  $V\geq |\mu|$  une majorante de  $|\mu|$ . En posant :

$$Q = 2 \mu_{+} + V - |\mu|$$

on a:

avec une mesure Q positive absolument continue par rapport à V, soit Q = q V. Pour tout  $A \in \mathcal{O}l$ , il vient :

$$Q(A) = 2 \mu_{+}(A) - |\mu(A)| + V(A) \le \mu_{+}(A) + V(A) \le 2 V(A)$$

Par suite la densité q vérifie  $0 \le q \le 2$  et (a fortiori) appartient à  $L^2(E, \mathcal{O}(V))$ . Il suffit donc d'appliquer le théorème 2 cidessus avec  $\lambda = 1$  pour obtenir l'énoncé précédent.

COROLLAIRE - Si  $\mu$  et  $\mu$ ' sont deux mesures bornées telles que  $\mu - \mu \ge 0$ ,

B' et B' le plus petit et le plus grand B  $\in \mathcal{B}$  majorant  $\mu$ (B) et  $\mu$ '(B) respectivement, on a B  $\supset$  B' ( $\mu$ '- $\mu$  p.p.) et B'  $\supset$  B' ( $\mu$ '- $\mu$  p.p.).

(même démonstration qu'au paragraphe 2).

Passons maintenant au paramètrage non linéaire.

Soit  $\mu_{\lambda}$ ,  $\lambda \geq 0$  une famille de mesures bornées (non positives) décroissante en  $\lambda$  :

$$\lambda \geq \lambda^{\dagger} \Rightarrow \mu_{\lambda} \leq \mu_{\lambda}$$

Quitte à remplacer  $\mu_{\lambda}$ , par  $\lim_{\lambda \uparrow \lambda} \mu_{\lambda}$ , nous pouvons supposer  $\mu_{\lambda}$  continue à gauche, soit :

$$\lambda \uparrow \lambda_{o} \Rightarrow \mu_{\lambda}(A) \downarrow \mu_{\lambda_{o}}(A) \quad \forall A \in \alpha$$

Enfin, nous supposons que les  $\mu_\lambda$  sont absolument continues par rapport à une même mesure V  $\geq$  0, soit :

$$\mu_{\lambda} = \rho_{\lambda} V$$

où  $\rho_{\lambda}$  est une famille de fonctions, décroissante et continue à gauche en  $\lambda$  .

D'après ce qui précède, pour chaque  $\lambda$  il existe un (V-p.p.) plus grand et un plus petit B  $\in$   $\mathcal{B}$ , soit  $\mathcal{B}_{\lambda}^+$  et  $\mathcal{B}_{\lambda}^-$ , réalisant

$$\gamma_{\lambda} = \sup_{B \in \mathcal{B}} \mu_{\lambda}(B)$$

Pour  $\lambda_0 > \lambda$  et  $(\lambda - \lambda_0)$  assez petit, on a :

$$\mu_{\lambda_{o}}(B_{\lambda}) + \varepsilon \ge \mu_{\lambda}(B_{\lambda}) \ge \mu_{\lambda}(B_{\lambda_{o}}) \ge \mu_{\lambda_{o}}(B_{\lambda_{o}}) \ge \mu_{\lambda_{o}}(B_{\lambda})$$

On en déduit que  $\gamma_{\lambda}$  est continu à gauche

$$\lambda \uparrow \lambda_0 \Rightarrow \gamma_{\lambda} \downarrow \gamma_{\lambda_0}$$

et aussi  $\mu_{\lambda_0}(B_{\lambda}) \rightarrow \mu_{\lambda_0}(B_{\lambda_0}) = \gamma_{\lambda_0}$  pour  $\lambda \uparrow \lambda_0$ . Par conséquent :  $\mu_{\lambda_0}(\bigcap_{\lambda>\lambda_0} B_{\lambda}) = \gamma_{\lambda_0}$ , ce qui entraine :  $\bigcap_{\lambda<\lambda_0} B_{\lambda}^+ \subset B_{\lambda_0}^+$ . Mais  $\lambda < \lambda_0$  entraine aussi  $B_{\lambda}^+ \supset B_{\lambda_0}^+$  (V-p.p.) d'après Th. 3, Corollaire. Par suite (V-p.p.):

$$B_{\lambda_0}^+ = \bigcap_{\lambda < \lambda_0} B_{\lambda}^+$$

La famille  $B_{\lambda}^{+}$  étant continue à gauche, la fonction  $\Lambda$  définie par :

$$\Lambda(x) = \sup \{\lambda : x \in B_{\lambda}^{+}\}$$

vérifie:

$$B_{\lambda}^{+} = \{x : \Lambda(x) \geq \lambda\}$$

Définissons alors la mesure  $\mu_{\Lambda}$  et sa densité  $\rho_{\Lambda}$  par :

$$\mu_{\Lambda} = \rho_{\Lambda} V ; \rho_{\Lambda}(x) = \rho_{\Lambda(x)}(x)$$

Alors : A est l'unique fonction du cône g vérifiant :

(3-1) 
$$\begin{cases} \forall \lambda & : \int_{\Lambda \geq \lambda} \mu_{\Lambda} = 0 \\ \forall \Lambda \in \mathcal{J}_{\partial} : \int_{\Lambda} \mu_{\Lambda} \leq 0 \end{cases}$$

La démonstration est à peu près la même que pour le paramètrage  $Q - \lambda V$  du paragraphe 2.

Sous cette forme générale, qui ne fait plus appel au théorème des projections ni à l'espace L<sup>2</sup>, on voit que le paramètrage des réserves est toujours possible.

Nous allons maintenant procéder à un examen plus détaillé du cas fini.

#### 4 - LE CAS FINI.

Le cas fini est le plus important pour les applications : il est d'ailleurs beaucoup plus simple, car  $\mathcal B$  est une famille finie, de sorte que l'on sait d'avance que Sup  $\{\mu(B): B\in \mathcal B\}$  est atteint, sans qu'il y ait lieu d'établir de théorème d'existence. Nous allons donc donner un exposé indépendant de ce qui précède, valable pour E fini, et, dans le paragraphe suivant, examiner les conditions de la mise en oeuvre pratique.

E est un ensemble fini. A chaque  $x \in E$  est affecté un poids  $(\underline{volume})\ V(\{x\}) > 0$  et une  $\underline{quantite}\ Q(\{x\}) = q(x)\ V(\{x\})$ , où q(x) est la  $\underline{teneur}\ en\ x\ (q \ge 0)$ . Enfin, on se donne une famille  $\mathcal B$  de  $\underline{domaines}\ autorisés$ , stable pour  $\bigcup\ et\ \bigcap$ , ainsi que  $\underline{le}\ préordre\ correspondant\ défini\ par$ :

$$\Gamma(x) = \bigcap \{B : B \in \mathcal{B}, x \in B\}$$

a/ - Les relations tonnage/teneur.

(Ici, la famille  ${\mathcal B}$  peut être quelconque : nous n'utilisons

lá stabilité pour  $\bigcup$  et  $\cap$  et le préordre (4-1) qu'à partir du sous-paragraphe b/). Pour tout  $v \ge 0$ , posons :

$$(4-2) Q(v) = Sup \{Q_B, B \in \mathcal{J}_B, V_B \le v\}$$

Ceci définit une fonction Q sur  $\mathbb{R}_+$ , non décroissante ( mais non nécessairement concave, ni continue).

D'autre part, pour chaque  $\lambda \geq 0$ , posons :

$$\dot{\gamma}(\lambda) = \sup \{Q_B - \lambda V_B, B \in \mathcal{B}\}$$

Comme E est fini, il existe un, ou plusieurs,  $B_{\lambda}$  tels que  $Q(B_{\lambda}) - \lambda \ V(B_{\lambda}) = \gamma(\lambda)$  (en général, il n'y a pas de relations simples entre les  $B_{\lambda}$  si  $\mathcal B$  n'est pas stable pour  $\bigcup$  et  $\bigcap$  ). Pour tout  $B \in \mathcal B$ , on a évidemment :

$$Q(B) - \lambda V(B) \le \gamma(\lambda)$$
  $Y B \in \mathcal{B}$ ,  $Y \lambda \le 0$ 

avec égalité pour  $B = B_{\lambda}$ . D'après (4-2), ceci entraîne pour tout  $v \ge 0$ 

$$Q(v) - \lambda v \le \gamma(\lambda)$$

avec égalité seulement si  $v=V(B_\lambda)$  pour un  $B_\lambda\in\mathcal{P}_\lambda$  réalisant le maximum  $\gamma(\lambda)$ .

En effet, soit  $B_0 \in \mathcal{B}$  un des éléments tels que  $V(B_0) \le v$  et  $Q(v) = Q(B_0)$ . On a donc :

$$Q(v) - \lambda(v) \le Q(B_0) - \lambda V(B_0) \le \gamma(\lambda)$$

c'est-à-dire (4-3). L'égalité n'est réalisée que si  $B_0 \in \mathcal{B}_{\lambda}$  et  $v = V(B_0)$ .

Posant maintenant:

(4-4) 
$$\hat{\mathbb{Q}}(\mathbf{v}) = \sup \{q : \forall \lambda \geq 0, q - \lambda \mathbf{v} \leq \gamma(\lambda)\}$$

nous obtenons l'enveloppe concave de Q(v) (i.e. sa plus petite majorante concave) (donc continue) telle que  $\widehat{Q}(v) \ge Q(v)$  et  $\widehat{Q}(v) = Q(v)$  si et seulement si  $v = V(B_{\lambda})$  pour un  $\lambda \ge 0$  et un  $B_{\lambda} \in \mathcal{B}_{\lambda}$ : les points  $(V(B_{\lambda}), Q(B_{\lambda}))$  sont <u>les points d'appui</u> des droites d'appui de l'enveloppe concave.

On peut alors paramétrer les réserves en  $\lambda$ . Pourcchaque  $\lambda \geq 0$ , il y a deux points d'appui extrêmes  $(V_{\lambda}^-, Q_{\lambda}^-)$  et  $(V_{\lambda}^+, Q_{\lambda}^+)$  (i.e.  $V_{\lambda}^- \leq V_{\lambda} \leq V_{\lambda}^+$  pour tout autre point d'appui  $V_{\lambda}^-, Q_{\lambda}^-$ ) associé à deux ensembles  $B_{\lambda}^-$  et  $B_{\lambda}^+ \in \mathcal{J}_{\lambda}^-$ .

Par définition :

$$\gamma_{\lambda} = Q_{\lambda}^{-} - \lambda V_{\lambda}^{-} = Q_{\lambda}^{+} - \lambda V_{\lambda}^{+}$$

Pour ε assez petit :

$$\lambda = \lambda_{o} - \epsilon \Rightarrow Q_{\lambda}^{-} = Q_{\lambda_{o}}^{+} \text{ et } V_{\lambda}^{-} = V_{\lambda_{o}}^{+}$$

$$\lambda = \lambda_{o} + \epsilon \Rightarrow Q_{\lambda}^{+} = Q_{\lambda_{o}}^{-} \text{ et } V_{\lambda}^{+} = V_{\lambda_{o}}^{-}$$

Cela résulte tout simplement de ce que les points d'appui sont en nombre fini et signifie que les applications :

 $\lambda \to V_{\lambda}^+$  ,  $\lambda \to Q_{\lambda}^+$  sont <u>décroissantes et continues à gauche</u>.

 $\lambda \to V_{\overline{\lambda}}$  ,  $\lambda \to Q_{\overline{\lambda}}$  sont <u>décroissantes et continues à droite</u>.

 $\lambda \rightarrow \gamma_{\lambda}$  est <u>décroissante et continue</u>.

(la continuité de  $\gamma_{\lambda}$  résulte immédiatement de (a), compte tenu des semi-continuités déjà établies ; la décroissance est évidente, puisque  $\gamma_{\lambda}$  = Sup  $\{Q_{B} - \lambda \ V_{B} \ ; \ B \in \mathcal{B} \}$ ).

## b/ - Le Cône S.

Nous supposons maintenant B stable pour U et Λ, et utilisons le préordre Γ associé.

Nous dirons qu'une fonction f est dans  $\mathcal S$ si et seulement si elle est <u>croissante pour le préordre  $\Gamma$ </u>. Il en résulte que  $\mathcal S$  est un <u>cône convexe</u>, <u>stable pour Sup et Inf</u>, <u>contient les constantes</u> (positives ou non) et les <u>indicatrices</u>  $\mathbf 1_B$ ,  $\mathbf B \in \mathcal B$ .

Si f est  $\Gamma$ -croissante, on a  $1_{f \geq \lambda} \in \mathcal{G}$ . En effet, si  $x \in \{f \geq \lambda\}$ , i.e.  $f(x) \geq \lambda$ , on a  $f(y) \geq f(x) \geq \lambda$ , donc  $y \in \{f \geq \lambda\}$  pour tout  $y \in \Gamma(x)$ . Inversement, si  $\{g \geq \lambda\} \in \mathcal{G}$  pour tout  $\lambda$ , g est  $\Gamma$ -croissante :  $x \in \{g \geq g(x)\} \in \mathcal{G}$  donne  $\Gamma(x) \subset \{g \geq g(x)\}$ , donc  $g(y) \geq g(x)$  pour tout  $y \in \Gamma(x)$ . Par suite :

On a f  $\in$  S si et seulement si  $\{f \geq \lambda\}$   $\in$  B pour tout réel  $\lambda$ . Voici une autre caractérisation :

En effet, soit  $f \in \mathcal{G}$ . Quitte à remplacer f par f - Inf f (ce qui est loisible, puisque les constantes sont dans f), on peut supposer  $f \ge 0$ . On pose alors :

$$f_n = \sum_{k=0}^{\infty} \frac{k}{2^n} \left( 1_{f \ge \frac{k}{2^n}} - 1_{f \ge \frac{k+1}{2^n}} \right) = \sum_{k=0}^{\infty} \frac{1}{2^n} 1_{f \ge \frac{k}{2^n}}$$

 $f_n \text{ est une combinaison linéaire à coefficients } 0 \text{ d'indicatrices } 1_B \text{ , } B \in \mathcal{B} \text{ (puisque } \{f \geq \lambda\} \in \mathcal{G} \text{ ) et } f_n \uparrow f \text{ , donc } f \text{ est } du \text{ même type. Inversement, toute } f \text{ de la forme } C + \sum C_i \mid_{B_i} \text{ , } C_i \geq 0, B_i \in \mathcal{B} \text{ est } \Gamma\text{-croissante, donc est dans } \mathcal{G} \text{ .}$ 

# c/ - Ia fonction $\Lambda \in \mathcal{G}$ .

Pour chaque \(\lambda\), on posera pour abréger :

$$\begin{cases} \mu_{\lambda} = (q - \lambda)V \\ \gamma_{\lambda} = \sup \{\mu_{\lambda}(B), B \in \mathcal{B}\} \end{cases}$$

Ce Sup est atteint (puisque  $\mathcal{B}$  est fini). Désignons par  $\mathcal{B}_{\lambda}$  la classe (non vide) des  $B \in \mathcal{B}$  tels que  $\mu_{\lambda}(B) = \gamma_{\lambda}$ .  $\mathcal{B}_{\lambda}$  est stable pour U et  $\cap$ .

En effet, si B et B' sont dans  $\mathcal{B}_{\lambda}$ , on trouve :

$$\mu_{\lambda}(B \cup B') + \mu_{\lambda}(B \cap B') = \mu_{\lambda}(B) + \mu_{\lambda}(B') = 2 \gamma_{\lambda}$$

et (par maximalité)  $\mu_{\lambda}(B \cup B')$  et  $\mu_{\lambda}(B \cap B')$  sont  $\leq \gamma_{\lambda}$ . On a donc  $\mu_{\lambda}(B \cup B') = \mu_{\lambda}(B \cap B') = \gamma_{\lambda}$ , c'est-à-dire  $B \cup B'$  et  $B \cap B' \in \mathcal{F}_{\lambda}$ .

En particulier,  $\mathcal{B}_{\lambda}$  contient un plus petit et un plus grand éléments :

$$B_{\lambda}^{-} = \cap \mathcal{G}_{\lambda}$$
;  $B_{\lambda}^{+} = \cup \mathcal{G}_{\lambda}$ 

et  $B_{\lambda}^- \subset B \subset B_{\lambda}^+$  pour tout  $B \in \mathcal{B}_{\lambda}$ .

Si  $\lambda > \lambda'$ , on a  $B_{\lambda}^+ \subset B_{\lambda}^-$ . Plus généralement :

Soient  $\mu$  et  $\mu$ ' deux mesures sur E avec  $\mu$ '  $\geq \mu$ , B<sup>+</sup> le plus grand des B  $\in \mathcal{B}$  maximisant  $\mu$ (B) et B' le plus petit des B  $\in \mathcal{B}$  maximisant  $\mu$ '(B). On a B<sup>+</sup>  $\subset$  B' ( $\mu$ ' -  $\mu$  p.p.).

En effet,  $C = B \cap B' \in \mathcal{B}$ , donc  $\mu(C) \le \mu(B)$ , soit  $\mu(B \setminus C) \ge 0$  et donc aussi  $\mu'(B \setminus C) \ge 0$ . Mais alors  $\mu'(B \cup B') = \mu'(B') + \mu'(B \setminus C) \ge \gamma(\mu')$ , donc  $\mu'(B \setminus C) = \mu(B \setminus C) = 0$ , et  $B \subset B'$  au sens  $(\mu' - \mu) - p \cdot p \cdot p \cdot C$ 

In famille  $B_{\lambda}^+$  est continue à gauche, et la famille  $B_{\overline{\lambda}}^-$  continue à droite :

$$(4-1) B_{\lambda_0}^+ = \bigcap_{\lambda < \lambda_0} B_{\lambda} ; B_{\lambda_0}^- = \bigcup_{\lambda > \lambda_0} B_{\lambda}$$

En effet, si  $\lambda$  <  $\lambda_o$  , on a  $B_{\lambda_o}^+$   $\subset$   $B_{\lambda}$  d'après ce qui précède. Inversement,  $\gamma(\lambda)$  est continue en  $\lambda$  de sorte que

$$\gamma(\lambda) = \mu_{\lambda}(B_{\lambda}) \ge \mu_{\lambda_{0}}(B_{\lambda}) \ge \mu_{\lambda_{0}}(B_{\lambda_{0}}^{+}) = \gamma(\lambda_{0})$$

entraine 
$$\lim_{\lambda \uparrow \lambda_o} \mu_{\lambda_o}(B_{\lambda}) = \mu_{\lambda_o}(\bigcap_{\lambda < \lambda_o} B_{\lambda}) = \gamma(\lambda_o).$$

Donc  $\bigcap_{\lambda<\lambda_0} B_{\lambda} \in \mathcal{B}_{\lambda_0}$  et par suite  $\bigcap_{\lambda<\lambda_0} B_{\lambda} \subset B_{\lambda_0}^+$ . Mais  $B_{\lambda} \supset B_{\lambda_0}^+$  pour tout  $\lambda<\lambda_0$ , d'où l'égalité. Même démonstration pour la continuité à droite de  $B_{\lambda_0}^-$ .

Définissons alors A par :

$$(4-2) \Lambda(x) = \operatorname{Sup} \{\lambda : x \in B_{\lambda}^{+}\}\$$

Alors,  $\Lambda \in \mathcal{S}$  et:

$$(4-3) B_{\lambda}^{+} = \{\Lambda \geq \lambda\} ; B_{\lambda}^{-} = \{\Lambda > \lambda\}$$

En effet, d'après la continuité à gauche :

$$\Lambda(x) \geq \lambda_0 \Leftrightarrow \forall \epsilon > 0, x \in B_{\lambda_0 - \epsilon}^+ \Leftrightarrow x \in \bigcap_{\lambda < \lambda_0} B_{\lambda}^+ = B_{\lambda_0}^+$$

et ceci entraine  $\Lambda \in \mathcal{G}$ .

Soient  $\lambda_0 \le \lambda_1 < \dots$  la suite (finie) des points de discontinuité ( $B_{\lambda_i}^- \subset B_{\lambda_i}^+$  strictement).

Pour  $\lambda_i < \lambda < \lambda_{i+1}$ , on a

$$B_{\lambda}^{+} = B_{\lambda}^{-} = B_{\lambda_{i+1}}^{-} = B_{\lambda_{i+1}}^{+}$$

Les ensembles :

$$\delta B_{i} = B_{\lambda_{i}}^{+} \setminus B_{\lambda_{i}}^{-} = B_{\lambda_{i}, j \in A}^{+} B_{\lambda_{i+1}}^{+}$$

forment une partition finie de E et l'on a :

$$(4-4) \qquad \Lambda = \sum_{i} \lambda_{i} \left( 1_{B_{\lambda_{i}}^{+}} - 1_{B_{\lambda_{i}}^{-}} \right) = \sum_{i} \left( \lambda_{i} - \lambda_{i-1} \right) 1_{B_{\lambda_{i}}^{+}}$$

Or, pour tout  $\lambda$ ,  $\gamma(\lambda) = \mu_{\lambda}(B_{\lambda}^{+}) = \mu_{\lambda}(B_{\lambda}^{-})$ . Cela entraine, pour chaque  $i : \mu_{\lambda_{i}}(\delta B_{i}) = 0$ . Comme  $\Lambda(x) = \lambda_{i}$  sur  $\delta B_{i}$ , on en déduit :

$$\int_{\delta} q = \lambda_{i} V(\delta B_{i}) = \int_{\delta} \Lambda(x) V(dx)$$

Puis, les  $\delta$  B, formant une partition de E:

$$\int_{B_{\lambda}^{+}} q(x) V(dx) = \sum_{i} \int_{\delta B_{i} \cap B_{\lambda}^{+}} qV = \sum_{i} \int_{\delta B_{i} \cap B_{\lambda}^{+}} \Lambda V = \int_{B_{\lambda}^{+}} \Lambda$$

soit pour tout  $\lambda$  réel :

$$\int_{\Lambda \geq \lambda} q = \int_{\Lambda \geq \lambda} \Lambda \qquad (\forall \lambda \geq 0)$$

Si  $A \in \mathcal{P}$ , on a pour chaque i:

$$\int_{A \cap \delta^{B_{i}}} q \leq \int_{A \cap \delta^{B_{i}}} \Lambda = \lambda_{i} V(A \cap \delta B_{i})$$

En effet,  $B_{i}^{+} \cap A \in \mathcal{F}$  et  $B_{i}^{-} \cup (B_{i}^{+} \cap A) = B_{i}^{-} \cup (\delta B_{i} \cap A) \in \mathcal{B}$ . Par suite :

$$\mu_{\lambda_{\mathbf{i}}}(B_{\mathbf{i}}^{-} \cup (B_{\mathbf{i}}^{+} \cap A)) = \gamma(\lambda_{\mathbf{i}}) + \mu_{\lambda_{\mathbf{i}}}(A \cap \delta B_{\mathbf{i}}) \leq \gamma(\lambda_{\mathbf{i}})$$

c'est-à-dire  $\mu_{\lambda_{\dot{1}}}(A \cap \delta B_{\dot{1}}) \le 0$ , ou  $Q(A \cap \delta B_{\dot{1}}) \le \lambda_{\dot{1}} V(A \cap \delta B_{\dot{1}})$ 

Par sommation en i, on en tire :

$$(4-6) \qquad \forall A \in \mathcal{B} : \int_{A} q \leq \int_{A} \Lambda$$

<u>les deux relations</u> (4-5) et (4-6) caractérisent  $\Lambda \in \mathcal{S}$ .

En effet, soit  $\Lambda$  une fonction de  $\mathcal G$  vérifiant ces relations. Posons

$$B_{\lambda}^{+} = \{\Lambda \geq \lambda\}$$
;  $B_{\lambda}^{-} = \{\Lambda > \lambda\}$ 

D'après (4-6), pour tout  $A \in \mathcal{B}$ , on trouve :

$$\int_{A} (q-\lambda) V \leq \int_{A} (\Lambda-\lambda) V \leq \int_{B_{\lambda}} (\Lambda-\lambda) V$$

avec  $B_{\lambda} = B_{\lambda}^{+}$  ou  $B_{\lambda}^{-}$ : la seconde inégalité vient de ce que  $B_{\lambda}$  réalise manifestement le Sup de  $\int_{B} (\Lambda - \lambda) V$ ,  $B \in \mathcal{B}$ ,  $B_{\lambda}^{-}$  et  $B_{\lambda}^{+}$  étant le plus petit et le plus grand élément réalisant ce Sup. On a donc  $\gamma(\lambda) \leq \int_{B_{\lambda}} (\Lambda - \lambda) V$ . D'après (4-6) cela signifie  $\gamma(\lambda) \leq \int_{B_{\lambda}} (q - \lambda) V$  et donc:

$$\int_{B_{\lambda}} (q-\lambda)V = \gamma(\lambda)$$

Si  $A \subset B_{\lambda}^{-}$  strictement, on trouve ensuite :

$$\int_{A} (q-\lambda)V \leq \int_{A} (\Lambda-\lambda)V < \int_{B_{\lambda}^{-}} (\Lambda-\lambda) = \gamma(\lambda)$$

puisque  $\int_{B_{\lambda}} (\Lambda - \lambda)$  est > 0 strictement. Donc  $B_{\lambda}$  est le plus petit  $B \in \mathcal{B}$  réalisant  $\gamma(\lambda)$ . On vérifie de même que  $B_{\lambda}^+$  est le plus grand  $B \in \mathcal{B}$  réalisant  $\gamma(\lambda)$ .

# d/ - Le Théorème de Projection.

La relation (4-5) équivaut à :

$$< q f > = < \Lambda f >$$

pour toute  $f \in \sigma(\Lambda)$  et entraine, en particulier :

$$< q - \Lambda_0 \Lambda > = 0$$

De son côté, (4-6) équivaut à :

La réciproque est vraie :

THEOREME -  $\Lambda$  est la projection de q sur le cône  $\mathcal{G}$  dans  $L^2(E, \underline{\mathcal{A}}, \underline{V})$ , c'est-à-dire l'unique élément  $\Lambda \in \mathcal{G}$  vérifiant :

(4-7) 
$$\begin{cases} \forall f \in \mathcal{S} : < q - \Lambda, f > \leq 0 \\ < q - \Lambda, \Lambda > = 0 \end{cases}$$

Il est immédiat que ces relations caractérisent la projection  $\eta_{\mathcal{A}}$  de q sur  $\mathcal{S}$ . On vient de voir que  $\Lambda$  les vérifient : donc  $\Lambda = \eta_{\mathcal{A}}$ . Comme  $\eta_{\mathcal{A}}$  est caractérisé par (4-7), on voit qu'inversement (4-7) entraine (4-5) et (4-6).

### 5 - REALISATION PRATIQUE.

# 5-1 - Un théorème de Convergence et une Conjecture.

Commençons par exposer une méthode d'itération qui jouera un rôle capital. Soient q une fonction quelconque sur E (supposé  $\underline{\text{fini}}$ ) et  $X_0$ ;  $X_1$ ,  $X_2$ ,... $X_p$   $\in$   $\mathcal{G}$  p+1 fonctions  $\Gamma$ -croissantes sur E. On désignera par  $\mathcal{G}(X_1,\ldots X_p)$  ou  $\mathcal{G}_p$   $\subset$   $\mathcal{G}$  le cône convexe stable pour Sup et Inf engendré par  $X_1,\ldots X_p$ : on a  $Y\in\mathcal{G}_p$  si et seulement si  $Y=f(X_1,\ldots X_p)$  pour une fonction f de p variables croissantes au sens:

$$x_{i} \ge x_{i}', i = 1,...p \Rightarrow f(x_{1},...x_{p}) \ge f(x_{1}',...x_{p}')$$

On se propose d'approcher  $\Lambda_{\mathcal{G}_p} = \Pi_{\mathcal{G}_p} q$  par une méthode d'itération : On pose :

$$Y_1 = \pi S(X_0, X_1)^{q}$$

$$Y_2 = \pi \mathcal{S}(Y_1, X_2) q$$

et par récurrence pour 1 ≤ r ≤ p, k entier ≥ 0 :

$$Y_{kp+r} = \pi_{\mathcal{S}(Y_{kp+r-1}, X_r)} q$$

 $(X_o \text{ sert donc une seule fois, à titre de lère approximation ; au contraire <math>X_1, \dots X_p$  sont indéfiniment réutilisés). On a donc :

$$(5-1') Y_n = \eta_{(Y_{n-1}, X_i)} q$$

où i = n modulo p. On remarque que la mise en oeuvre de cette méthode suppose que l'on soit capable de trouver  $\Pi_{\mathcal{S}(YX)}$  q, c'est-àdire la meilleure approximation de q par une fonction croissante de (YX).

Si l'on pose Y' =  $\prod$  q , Y' est caractérisée comme l'unique élément de  $\mathcal{J}(Y,X)$  vérifiant :

On note aussi que l'on peut remplacer q par  $E(q \mid Y \mid X)$ , considérée comme fonction  $\overline{q}(X,Y)$  des deux variables X et Y: c'est donc un problème qui se pose dans l'espace  $\mathbb{R}^2$ .

Comme  $Y_n = \Pi \mathcal{G}(Y_{n-1}, X_i)^q$  est une meilleure approximation de q que  $Y_{n-1}$  , on a

$$\|q - Y_n\| \le \|q - Y_{n-1}\|$$

<u>Ia suite</u>  $\|q-Y_n\|$  <u>est décroissante</u>. D'après (5-2),  $q-Y_n$  est orthogonale à  $Y_n$  , donc :

$$\|\mathbf{q}\|^2 = \|\mathbf{q} - \mathbf{Y}_{\mathbf{n}}\|^2 + \|\mathbf{Y}_{\mathbf{n}}\|^2$$

In suite  $\|Y_n\|$  est croissante et admet une limite s  $\|q\|$ . On a un résultat plus fort :

LEMME - 
$$\|Y_n - Y_{n-1}\|^2 \le \|Y_n\|^2 - \|Y_{n-1}\|^2$$

En particulier,  $\|Y_n\| \ge \|Y_{n-1}\|$  avec égalité si et seulement si  $Y_n = Y_{n-1}$ .

En effet,  $Y_n$  est de la forme  $Y_n = f(Y_{n-1}, X_i)$  où f est croissante (au sens  $(x,y) \ge (x',y')$  si  $x \ge x'$  et  $y \ge y'$ ). Si  $g(Y_n, Y_{n-1})$  est une fonction croissante en  $(Y_n, Y_{n-1})$ , la fonction substituée  $g[f(Y_{n-1}, X_i), Y_{n-1}]$  est encore croissante en  $(Y_{n-1}, X_i)$  comme on le vérifie immédiatement. On a donc :

$$\mathcal{G}(\mathbf{Y}_{n}, \mathbf{Y}_{n-1}) \subset \mathcal{G}(\mathbf{Y}_{n-1}, \mathbf{X}_{1})$$

Comme  $Y_n = \prod_{g \in Y_{n-1}, X_i} q$  est dans  $g(Y_n, Y_{n-1})$ ,  $Y_n$  est également la projection de q sur ce sous-cône :

$$Y_n = \prod_{\leq p} (Y_n, Y_{n-1})$$

D'après (5-2), cela entraine pour  $Y_{n-1} \in \mathcal{G}(Y_n, Y_{n-1})$ :

$$< q, Y_{n-1} > \le < Y_n, Y_{n-1} >$$

Mais < q,  $Y_{n-1} > = ||Y_{n-1}||^2$ , d'après (5-2), puisque  $Y_{n-1}$  est la projection de q sur le cône correspondant. Donc :

$$\|Y_{n-1}\|^2 \le \langle Y_n, Y_{n-1} \rangle$$

Par suite:

Th. 5-1 - La suite  $\{Y_n\}$  converge vers une limite  $Y_0$ , et cette limite est atteinte au bout d'un nombre fini d'itérations  $(Y_n = Y_0)$  pour  $n \ge N$ 

Remarquons d'abord que chaque  $Y_n$  est égal à  $\Pi_{\mathcal{S}(Y_n)}$  q , c'est-  $\mathfrak{S}(Y_n)$  à-dire à la projection de q sur le cône  $\mathfrak{S}_n$  engendré par les indicatrices des  $\{Y_n \geq \lambda\}$ . Soit  $\mathfrak{B}_n$  la famille des ensembles  $\{Y_n \geq \lambda\}$ . C'est une sous-famille de  $\mathfrak{B}$  totalement ordonnée par l'inclusion. Comme  $\mathfrak{B}$  est fini, il n'existe qu'un nombre fini N de telles sous-familles, et par suite la suite  $\{Y_n\}$  comprend au plus N termes distincts.

Le reste suit facilement : on considère la suite partielle  $n \to Y_{np}$  . Il existe alors deux entiers  $n_0 < n_1 \le N$  tels que  $Y_{n_0p} = Y_{n_1p}$  . Comme la suite  $\|Y_n\|$  est croissante, on a  $\|Y_{n_0p}\| = \|Y_{n_0p+1}\| = \cdots = \|Y_{n_1p}\|$ , donc aussi (d'après le lemme)  $Y_{n_0p+k} = Y_{n_0p}$ ,  $k = 1, 2, \dots (n_1-n_0)p$ . Enfin, d'après le procédé de construction par récurrence,  $Y_{n_0p} = Y_{n_1p}$  entraîne  $Y_{n_1p+r} = Y_{n_0p+r}$  pour tout  $r \ge 0$ .

Par suite on a bien  $Y_n = Y_{n_0p}$  dès que  $n \ge n_0p$  (comme  $n_0 < n_1 \le N$ , on a  $n_0 \le (N-1)$ ).

# Conjecture - Cette limite Y o ne dépend pas de l'approximation

initiale, et 
$$Y_0 = \Pi_{\mathcal{S}(X_1,...X_p)}$$

Je ne suis pas à même de démontrer cette conjecture. Un énoncé équivalent est :

Il existe un et un seul  $Y_0 \in \mathcal{G}$  (à savoir la projection de q sur  $\mathcal{G}(X_1,...X_p)$  tel que :

$$Y_0 = \pi_{\mathcal{S}(X_1, Y_0)} = \dots = \pi_{\mathcal{S}(X_p, Y_0)}$$

Remarquons que si cette conjecture se révélait fausse, la limite  $Y_{o}$  constituerait néanmoins une très bonne approximation de la vraie projection, et le procédé conserverait toute sa valeur pratique.

## 5-2 - Cas où Г est un cône convexe à base polygonale.

Dans les applications,  $\Gamma(x)$  est un cône convexe de sommet x dans  $\mathbb{R}^3$  (plus précisément la restriction d'un tel cône au sous-ensemble fini  $E \subset \mathbb{R}^3$ ). Il existe donc une famille  $\phi_i$ ,  $i \in I$  de formes linéaires sur  $\mathbb{R}^3$  telles que :

$$y \in \Gamma(x) \Rightarrow \phi_i(y) \ge \phi_i(x)$$
,  $i \in I$ 

Quitte à modifier légèrement  $\Gamma$ , nous supposerons <u>I fini</u>, ce qui revient à approximer la base du cône  $\Gamma$  par un <u>polygone</u>. Soit p le nombre de ces formes : le préordre  $\Gamma$  est défini par p formes linéaires :

$$(5-3) y \in \Gamma(x) \Leftrightarrow \varphi_1(y) \geq \varphi_1(x), \dots, \varphi_p(y) \geq \varphi_p(x)$$

Th. 5-2 - Le préordre Γ étant défini par (5-3), une fonction F

sur E est Γ-croissante si et seulement si il existe une

fonction f croissante sur R<sup>p</sup> au sens :

$$\xi_{i} \geq \xi_{i}^{'}$$
,  $i = 1, 2, \dots p \Rightarrow f(\xi_{1}, \dots, \xi_{p}) \geq f(\xi_{1}^{'}, \dots, \xi_{p}^{'})$ 

telle que en tout x € E:

$$F(x) = f(\phi_1(x), ..., \phi_p(x))$$

Il est immédiat que tout F de la forme indiquée est  $\Gamma$ -croissante. Si p est  $\leq 3$ , la réciproque est immédiate. Si p est  $\geq 3$ , on peut supposer qu'il existe 3 formes linéairement indépendantes, par exemple  $\varphi_1$ ,  $\varphi_2$  et  $\varphi_3$  (si ce n'est pas le cas, on se ramène sans peine à un problème analogue dans  $\mathbb{R}^2$  ou  $\mathbb{R}^1$ ), de sorte que tout  $\mathbf{x} \in \mathbb{R}^3$  est biunivoquement défini par ses trois premières coordonnées en "axes  $\varphi$ ", soient :

$$\xi_1 = \phi_1(x)$$
,  $\xi_2 = \phi_2(x)$ ,  $\xi_3 = \phi_3(x)$ 

L'application de E dans  $\mathbb{R}^p$ , associant à  $x \in E$  le point  $\xi$  de coordonnées :

$$\xi_i = \varphi_i(x)$$
  $i = 1, 2, \ldots p$ 

est donc injective. Désignons par E' l'image de E dans  $\mathbb{R}^p$  par cette application, et munissons  $\mathbb{R}^p$  de l'ordre F' défini par :

$$\xi \in \Gamma'(\xi') \Leftrightarrow \xi_i \geq \xi_i', i = 1,2,...p$$

Soit F une fonction  $\Gamma$ -croissante sur E. Nous devons montrer qu'il existe  $\overline{f}$   $\Gamma$ '-croissante sur  $\mathbb{R}^p$  telle que :

(a) 
$$F(x) = \overline{f}(\varphi_1(x), ... \varphi_p(x))$$

Définissons d'abord f sur E' en posant :

$$f(\xi) = F(x)$$
  $(\xi = (\varphi_1(x), ..., \varphi_p(x)), x \in E$ 

ce qui est possible, puisque  $x \to \xi$  est une bijection de E sur E'. Ensuite, en tout  $\xi \in \mathbb{R}^p$ , posons :

$$\overline{f}(\xi) = \text{Inf } \{f(\xi'), \xi' \in \Gamma'(\xi) \cap E'\}$$

(ceci implique  $\overline{f}(\xi) = -\infty$  si  $\Gamma'(\xi) \cap E' = \emptyset$ , ou simplement  $\overline{f}(\xi) = 0$  si on se limite - ce qui est loisible - aux fonctions  $\geq 0$ ). Cette fonction  $\overline{f}$  prolonge f sur  $\mathbb{R}^p$ , (donc vérifie (a). En effet, si  $\xi \in E'$  et  $\xi' \in \Gamma'(\xi) \cap E'$ , on a  $f(\xi) \leq f(\xi')$ . Car, si x et x' sont les points de E tels que  $f(\xi) = F(x)$  et  $f(\xi') = F(x')$ , on a (par définition de  $\Gamma'$ ) x'  $\in \Gamma(x)$ , donc  $F(x') \geq F(x)$ , puisque F est  $\Gamma$ -croissante. Par suite  $\overline{f}(\xi) = f(\xi)$  sur E'.

Il reste à vérifier que  $\overline{f}$  est  $\Gamma'$ -croissante, ce qui est immédiat : si  $\xi \in \Gamma'(\xi_0)$ , on a  $\Gamma(\xi) \subset \Gamma'(\xi_0)$ , donc, d'après la définition de  $\overline{f}$ ,  $\overline{f}(\xi) \geq \overline{f}(\xi_0)$ .

On notera que la fonction  $\overline{f}$  que nous avons utilisée ici est la plus petite fonction sur  $\mathbb{R}^p$  vérifiant les conditions voulues.

REMARQUE - D'après ce théorème, le cône  $\mathscr S$  est identique à la famille des Y =  $f(\phi_1,\ldots\phi_p)$  où f est une fonction croissante sur  $\mathbb R^p$ . Si, dans l'énoncé du théorème 5-1, on prend  $X_1=\phi_1,\ldots X_p=\phi_p$ , la projection de q sur  $\mathscr S(X_1,\ldots X_p)$  est donc identique à  $\Lambda=\Pi$  q - et (si la conjecture est vraie) - peut être obtenue par un nombre fini d'itérations.

### 5-3 - Conditions de réalisation pratique.

Le principe de base consiste à définir les "gros blocs"en axes  $\varphi$  et non en les coordonnées initiales. Cela revient tout simplement à discrétiser les fonctions  $\varphi_i$ . L'avantage énorme de ce procédé est de supprimer le problème de l'affinage d'un contour défini au niveau des gros blocs. Car les contours obtenus à l'aide des gros blocs définis en axes  $\varphi$  sont automatiquement dans  $\mathcal{B}$ , et n'ont donc pas besoin d'être affinés.

L'espace E utilisé est donc constitué <u>des centres des petits</u>
<u>blocs</u>, en nombre généralement énorme (200 000 par exemple). Tout
va reposer sur la possibilité de résoudre économiquement le :

Problème - Si X et Y sont deux fonctions  $\Gamma$ -croissantes sur E, trouver une bonne approximation de  $\pi$  q .

C'est un problème à <u>deux dimensions</u>, donc soluble par la méthode de programmation dynamique.

On désignera par  $\overline{V}(dX, dY)$  et  $\overline{Q}(dX, dY)$  les images des mesures V et Q = qV par  $x \to (X,Y)$ . On a d'ailleurs simplement  $\overline{Q} = \overline{q}$   $\overline{V}$  avec  $\overline{Q}(X,Y)$ : E(q|X,Y).

Le problème (plan) est de projeter  $\overline{q}$  sur le cône  $\mathscr{G}(X,Y)$  des fonctions croissantes de 2 variables dans  $L^2(\mathbb{R}^2,\overline{V})$ . En fait, X et Y sont discrétisées. Si elles prennent n et n' valeurs distinctes,  $\overline{V}$  est concentrée surnun  $E' \subset \mathbb{R}^2$  comportant au plus n n' points (en général moins), soit 100 points si n=n'=10. L'algorithme de programmation dynamique doit marcher rapidement. Si l'on veut discrétiser la projection  $\Lambda_0=\Pi_{\overline{V}(X,Y)}$   $\overline{q}$ , on se donnera a priori

des nombres  $0<\lambda_1<\ldots<\lambda_n<\infty$ . Pour chaque i, on désignera par  $B_i$  l'élément de G maximisant  $(\overline{q}-\lambda_i)\overline{V}$ , et sur  $\delta$   $B_i=B_i B_{i+1}$ , on posera

$$\lambda_{i}' = \frac{\int_{\delta B_{i}} \overline{q} \overline{V}}{\int_{\delta B_{i}} \overline{V}} = E(\overline{q} | \delta B_{i})$$

La solution discrétisée cherchée est :

$$\Lambda_{o} = \sum \lambda'_{i} 1_{\delta B_{i}}$$

c'est-à-dire  $\Lambda_0(x) = \lambda_i'$  pour  $x \in \delta B_i$ .

Dans cette méthode, c'est le calcul de  $\overline{V}(dX, dY)$  et de  $\overline{q}(X,Y)$  qui risque de prendre le plus de temps, car il nécessite le balayage de tout E (200 000 points). La méthode d'itération directe suivante serait donc prohibitive :

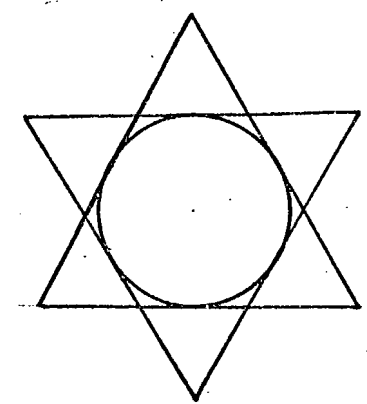
Chaque  $\mathbf{x} \in \mathbf{E}$  ayant été informé par  $\mathbf{X}_{0}(\mathbf{x})$  (approximation initiale),  $\mathbf{X}_{\mathbf{i}}(\mathbf{x}) = \mathbf{\phi}_{\mathbf{i}}(\mathbf{x})$  et  $\mathbf{Y}_{\mathbf{k}}(\mathbf{x})$ ,  $\mathbf{k} = 1, 2, \ldots n$ , former  $\overline{\mathbf{V}}_{\mathbf{n}}(\mathbf{d} \ \mathbf{Y}_{\mathbf{n}}, \mathbf{d} \ \mathbf{X}_{\mathbf{i}})$  et  $\mathbf{E}(\mathbf{q} | \mathbf{Y}_{\mathbf{n}}, \ \mathbf{X}_{\mathbf{i}}) = \overline{\mathbf{q}}(\mathbf{Y}_{\mathbf{n}}, \mathbf{X}_{\mathbf{i}})$ . Projeter  $\overline{\mathbf{q}}$  sur  $\mathbf{f}(\mathbf{Y}_{\mathbf{n}}, \ \mathbf{X}_{\mathbf{i}})$ , d'où  $\overline{\mathbf{Y}}_{\mathbf{n+1}}(\mathbf{Y}_{\mathbf{n}}, \ \mathbf{X}_{\mathbf{i}})$ . Substituer pour chaque  $\mathbf{x}$ ,  $\mathbf{Y}_{\mathbf{n+1}}(\mathbf{x}) = \overline{\mathbf{Y}}_{\mathbf{n+1}}(\mathbf{Y}_{\mathbf{n}}(\mathbf{x}), \mathbf{X}_{\mathbf{i}}(\mathbf{x}))$ .

Car elle implique un nombre excessif de balayage de E. D'où la méthode d'approximation suivante :

## 5-4 - Méthode du Bouclier de David.

On retiendra 6 formes linéaires  $\varphi_1, \ldots \varphi_6$  pour définir (à peu près)  $\Gamma$ . Si le vrai cône  $\Gamma$  est de révolution, on lui substituera un cône dont la base est un hexagone régulier : cet hexagone est l'intersection de deux triangles équilatéraux symétriques

associés : le premier à  $(\phi_1, \phi_2, \phi_3)$  et le second à  $(\phi_4, \phi_5, \phi_6)$ .



Principe de la méthode : Approximer (séparément)  $\Pi$  q par  $\Lambda_1$  et  $\Pi$   $\mathcal{G}(\phi_1,\phi_2,\phi_3)$  par  $\Lambda_2$  . Puis approximer  $\Pi$   $\mathcal{G}(\Lambda_1,\Lambda_2)$  q par  $\Lambda_3$  et  $\mathcal{G}(\Lambda_1,\Lambda_2)$  et  $\mathcal{G}(\Lambda_1,\Lambda_2)$  q par  $\Lambda_3$  et  $\mathcal{G}(\Lambda_1,\Lambda_2)$  et

Sous réserve de vérification, on peut espérer que  $\Lambda_{\mathfrak{Z}}$  sera une bonne approximation de  $\Lambda$  :

la méthode ne nécessiterait donc que 4 balayages de E entier.

En effet, pour calculer  $\Lambda_1$  on peut travailler entièrement en coordonnées  $(\phi_1,\phi_2,\phi_3)$  discrétisées.

Par exemple, on retiendra 10 valeurs distinctes pour chaque  $\phi_{\textbf{i}}\,,$  en posant :

 $\overline{\phi}_{i}(x) = k \operatorname{si} \phi_{i}(x)$  appartient à l'intervalle  $(t_{k}, t_{k+1})$ , k = 0, 1,..10,  $t_{0} = -\infty$ ,  $t_{11} = +\infty$  et en choisissant les classes  $(t_{k}, t_{k+1})$  de manière à ce qu'elles contiennent chacune à peu près le même nombre de points.

En coordonnées discrétisées  $(\overline{\varphi}_1,\overline{\varphi}_2,\overline{\varphi}_3)$ , E' contient au plus 1000 points (en pratique sans doute 2 ou 300). Chacun des  $\xi \in E'$  (c'est-à-dire chaque gros bloc en axes  $\varphi$ ) sera informé une fois pour toutes par : son poids  $\overline{V}(\xi) = \sum V(x)$  où x décrit le "gros  $x \in \xi$  bloc"  $\xi$  et sa teneur :

$$\overline{q}(\xi) = \frac{1}{\overline{V}(\xi)} \sum_{x \in \xi} q(x) V(x)$$

Ceci nécessite un seul parcours de E entier.

On choisira une approximation initiale sur E': par exemple

$$x_0 = \pi_{S(\overline{\varphi}_2, \overline{\varphi}_3)} \overline{q}$$

D'autres  $X_0$  sont réalisables : voici un procédé pour obtenir une approximation initiale peut-être meilleure : on remarque que la fonction  $\overline{q}$  sur E' peut s'écrire :

$$\overline{q} = \sum_{\xi \in E'} \overline{q}(\xi) 1_{\{\xi\}}$$

Il n'est pas exact que la projection d'une somme soit la somme des projections. Mais cette somme constitue probablement une bonne approximation initiale, soit :

$$X_o = \sum_{\xi \in E'} \overline{q}(\xi) \prod_{(\phi_1, \phi_2, \phi_3)} 1_{\{\xi\}}$$

avec:

$$\Pi 1_{\{\xi\}} (\xi_0) = \frac{1_{\Gamma^{\bullet}(\xi)}(\xi_0)}{\overline{V}(\Gamma(\xi))} \int_{\Gamma^{\bullet}(\xi)} \overline{q}(\xi^{\bullet}) \overline{V}(d\xi^{\bullet})$$

sous forme explicite :

$$X_{o}(\xi) = \sum_{\xi' \in E' \cap \Gamma''(\xi)} \frac{1}{\overline{V}(\Gamma'(\xi'))} \sum_{\eta \in \Gamma'(\xi')} \overline{q}(\eta) \overline{V}(\eta)$$

où  $\Gamma$ " désigne l'ordre inverse ( $\xi$ '  $\in \Gamma$ "( $\xi$ ) si  $\xi \in \Gamma$ '( $\xi$ ')).

On calcule ensuite les  $\mathbf{Y}_n$  par des itérations

$$Y_n = \prod_{(Y_{n-1}, \overline{\varphi}_i)} \overline{q}$$

ne nécessitant le balayage que de E' (1000 points) et non de E (200 000) - donc réalisables. Ceci conduira à  $\Lambda_1$ .  $\Lambda_2$  se construit de la même manière à partir de  $\phi_4$ ,  $\phi_5$ ,  $\phi_6$ : ceci nécessite un second parcours de E. Chaque point x de E doit ensuite être informé des valeurs  $\Lambda_1(x)$  et  $\Lambda_2(x)$  (3ème parcours). Pendant ce même 3ème parcours, on informe la plan (discrétisé) des  $(\Lambda_1, \Lambda_2)$ . On calcule

alors  $\Lambda_3$ , et il reste à informer  $x \in E$  par  $\Lambda_3(x) = \Lambda_3[\Lambda_1(x) \Lambda_2(x)]$  (4ème parcours de E).

Raffinement - Ayant obtenu  $\Lambda_3$  discrétisée (par exemple) en 10 valeurs  $\lambda_1, \ldots \lambda_{10}$ , on peut souhaiter améliorer l'approximation entre deux valeurs  $\lambda_i$  et  $\lambda_j$  en cadrant la zone pratiquement intéressante des valeurs de  $\lambda$ .

Cela est possible en éliminant les points x où  $\Lambda_3(x) \geq \lambda_j$  et ceux où  $\Lambda_3(x) < \lambda_i$  (i.e. en remplaçant V par  $1_{\lambda_i \leq \Lambda_3 < \lambda_j}$  V = V'. On recommence les mêmes opérations sur ce nouvel ensemble  $E_o \subset E$ . Ceci aboutit à une nouvelle fonction  $\Lambda_4(x)$  sur  $E_o$  vérifiant (en principe)  $\lambda_i \leq \Lambda_4 < \lambda_j$  et permettant de resserrer l'approximation dans cette fourchette.

# 5-5 - <u>Variation des conditions imposées</u>.

a/- On peut souhaiter faire varier l'angle de talus à respecter, c'est-à-dire le cône  $\Gamma$ . On commencera par l'angle le plus faible, i.e. le plus grand cône  $\Gamma_0$  correspondant à l'ordre le plus sévère, avec la solution  $\Lambda_0$ . Si  $\Gamma_1 \subset \Gamma_0$ ,  $\Lambda_0$  est encore  $\Gamma_1$ -croissante. De plus, si le cône  $\Gamma_1$  est peu différent du cône  $\Gamma_0$ ,  $\Lambda_0$  est relativement proche de  $\Lambda_1$ . Autrement dit, dans le calcul de la solution  $\Lambda_1$  associé à  $\Gamma_1$ ,  $\Lambda_0$  constituera une excellente approximation initiale  $X_0$  (ce qui réduira le nombre des itérations).

## b/ - Cas de la double coupure.

Ici, λ représente toujours <u>la teneur limite à l'ex-</u>
<u>traction</u> (i.e. le prix de l'extraction de l'unité de volume), mais
il intervient un deuxième paramètre θ, <u>teneur limite au traitement</u>

(i.e. : prix du traitement de l'unité de volume).

Si  $F_x(dt)$  est la fonction de transfert en  $x \in E$  et si x est extrait, on récupère le volume  $\left[1-F_x(\theta)\right]$   $V(\{x\})$  à la teneur  $\int_{\theta}^{\infty} t F_x(dt)$ , la valeur par unité de volume extrait est :

$$q_{\theta}(x) = \int_{\theta}^{\infty} (t-\theta) F_{x}(dt) = \int_{\theta}^{\infty} [1-F_{x}(t)]dt$$

Il s'agit donc d'optimiser  $\int_{B} (q_{\theta}(x)-\lambda) V(dx)$ , autrement dit on doit appliquer la même méthode avec  $q_{\theta}$  au lieu de q. Si  $\Lambda_{\theta}$  est (une approximation de)  $\Pi_{\mathcal{G}}q_{\theta}$  et si  $\theta$ ' est voisin de  $\theta$ , ici encore  $\Lambda_{\theta}$  constituera une bonne approximation initiale  $X_{0}$  de  $\Lambda_{\theta}$ , ce qui diminuera le nombre des itérations.

Noter que si  $\theta_1, \theta_2, \dots \theta_k$  sont les k valeurs de  $\theta$  auxquelles on a décidé de s'intéresser, lors du passage aux coordonnées  $\varphi$  il conviendra d'informer chaque  $\xi \in E'$  de toutes les valeurs  $q_{\theta_1}(\xi)$ ,  $i=1,\dots$ k à la fois, de manière à réduire le nombre des parcours de E.

c/- On peut aussi traiter par la même méthode le cas d'un paramétrage non linéaire. Si  $\mu_\lambda$  ne dépend pas linéairement de  $\lambda$ , les contours optimaux sont encore les :

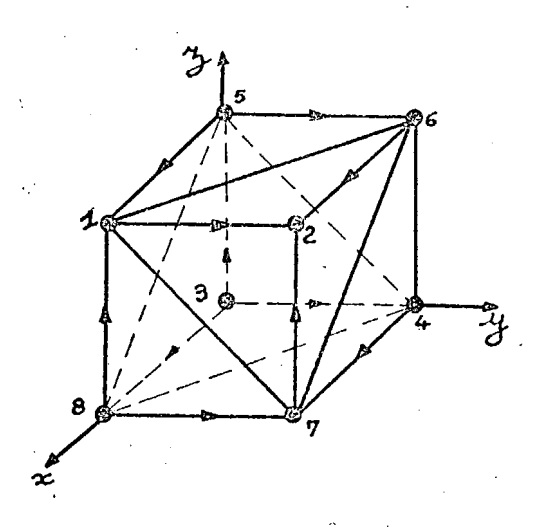
$$B_{\lambda} = \{ \Lambda \geq \lambda \}$$

où  $\Lambda \in \mathcal{S}$  est caractérisé par les relations (3-1). En passant en axes  $\varphi$ , les résultats précédents subsistent. Les approximations  $\Lambda_1$  et  $\Lambda_2$  en axe  $\varphi$  se construisent par itérations (la méthode de programmation dynamique s'applique sans changement dans  $\mathbb{R}^2$ ), et de même  $\Lambda_3$  s'obtient (par programmation dynamique, a partir de  $\Lambda_1$  et  $\Lambda_2$ .

#### 6 - POST SCRIPTUM.

La conjecture relative à la méthode d'itération est <u>fausse</u> en réalité. Voici un contre-exemple très simple.

 ${\mathcal B}$  va être la famille stable pour  ${\sf U}$  et  ${\sf \cap}$  engendrée par trois ensembles seulement. Ceci conduit à un graphe à 8 points disposés au sommet du cube de base de  ${\sf R}^3$  avec les coordonnées



$$x = 1_{B_1}$$
  $y = 1_{B_2}$   $z = 1_{B_3}$ 

avec un ordre Γ défini par l'octant positif

$$(x,y,z) \in \Gamma(x',y',z')$$
 si  
  $x \ge x'$ ,  $y \ge y'$ ,  $z \ge z'$ 

Je prends V = 1 sur chacun des huit points, et q comme indiqué sur la Figure 1.

On trouve facilement  $\Lambda$  (Figure 2).

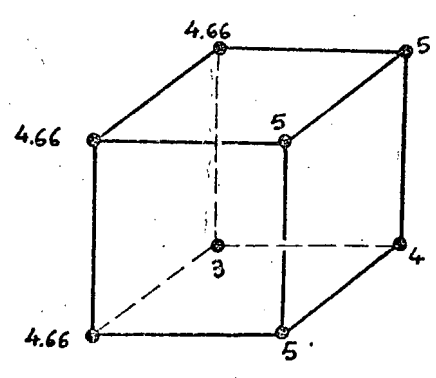


Fig. 2 : Λ

Pour appliquer la méthode d'itération, partons, par exemple, de

$$X_0 = \Pi_{xy} q$$

 $\overline{q}(x,y) = E(q|xy)$  est donné Fig. 3

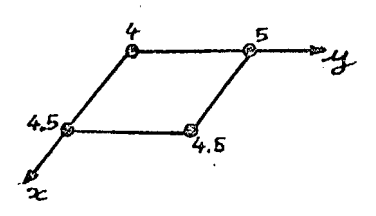
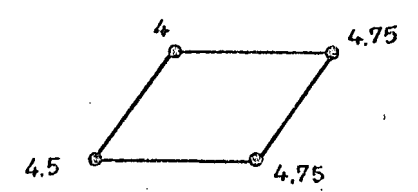
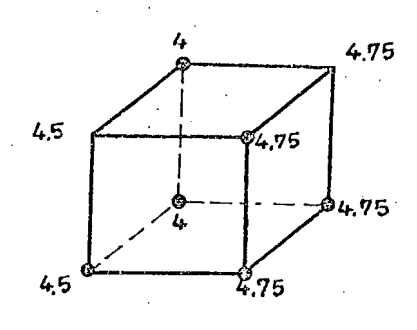


Fig. 3:  $\overline{q}(x,y)$ 

De sorte que  $X_0 = \Pi_{xy}$  q est (dans le plan des xy) :



et, à trois dimensions (Fig. 4). Nous devons ensuite passer à



$$X_0 = \Pi_{xy} q$$

$$Y_1 = \Pi(X_0, z)^q$$

Pour cela, nous allons nous placer en axes  $(X_0,z)$ . Cela donne la figure 5, où chaque point est informé des deux nombres : le premier est  $\overline{q} = E(q | X_0, z)$ le second est  $\overline{V} = V(X_0, z)$ 

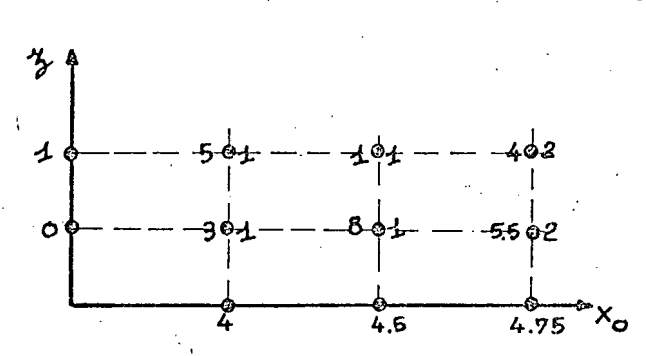


Figure 5 ( $\overline{q}$  et  $\overline{V}$  en axes  $X_0, z$ )

On en déduit  $\Pi_{(X_0,z)}^q = Y_1$  en axes  $(X_0,z)$ :

3.1

4,6.1 4,75.2

et en axes (x,y,z) (Fig. 6)

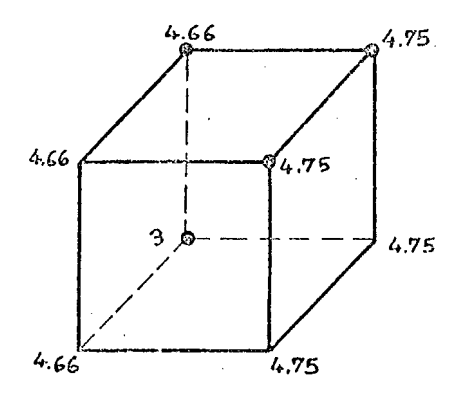


Fig. 6: 
$$Y_1 = \pi_{(X_0,z)} q = Y_0$$

Il est ensuite facile de vérifier  $\Pi_{(Y_1x)} = Y_1$  et  $\Pi_{(Y_1y)} = Y_1$ . L'itération est bloquée, et on n'a pas  $Y_0 = \Lambda$  comme on le voit en comparant les figures 2 et 6.

Si, au lieu de  $X_0 = \Pi$  q , nous étions partis de  $X_0 = \Pi$  q ou de  $X_0'' = \Pi$  q , nous serions arrivés à la même limite  $Y_0$  , comme on peut le vérifier facilement.

Il ressort de cela:

1º/ que la conjecture est fausse

 $2^{\circ}/qu'$ il n'est probablement pas bon de partir de l'approximation initiale  $X_{0}$  obtenue en projetant q sur l'un des trois plans de coordonnées.

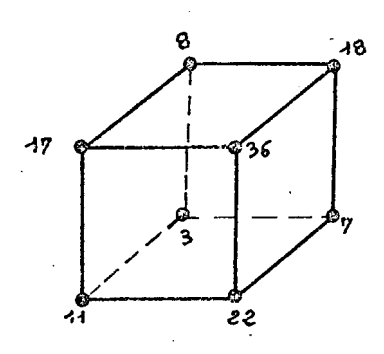
Il est sans doute préférable de prendre pour  $X_0$  une fonction a priori davantage liée à q. Voici deux procédés possibles : On peut prendre pour  $X_0(\xi)$  la somme des minorants de  $\xi \in \mathbb{R}^3$  dans l'ordre  $\Gamma$ , soit, en désignant par  $\Gamma$ ' le cône opposé  $(\xi' \in \Gamma'(\xi) \Leftrightarrow \xi \in \Gamma(\xi'))$ 

$$X_{o}(\xi) = \int_{\Gamma^{i}(\xi)} q(\xi^{i}) V(d\xi^{i})$$

On peut encore prendre  $X_0(\xi)$  égal à <u>la somme changée de signe</u> des majorants de  $\xi$  dans l'ordre  $\Gamma$ 

$$X_{o}^{\dagger}(\xi) = -\int_{\Gamma(\xi)} q(\xi^{\dagger}) V(d\xi^{\dagger})$$

Ici, cela donne (Fig. 7 et 8)



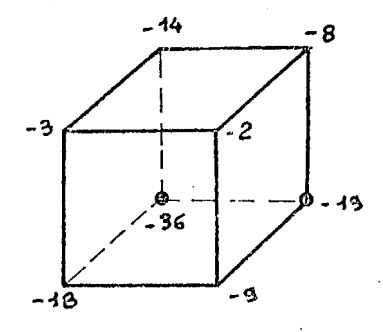


Fig. 8 : X

Il se trouve (mais ce n'est évidemment pas une circonstance générale) qu'ici X<sub>o</sub> est une remarquable approximation initiale : on vérifie facilement, en effet, que :

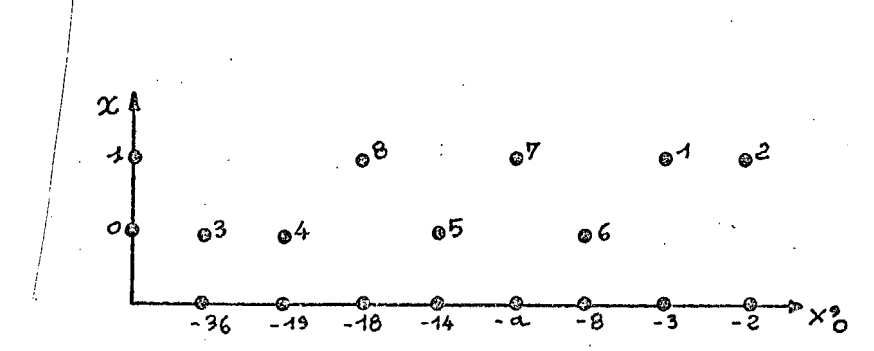
$$\eta_{X_{O}} q = \Lambda$$

A plus forte raison  $\Pi(X_0,x)^q = \Pi(X_0,y)^q = \Pi(X_0,z)^q = \Lambda$  de sorte que l'on trouve  $Y_1 = \Lambda$  dès la première itération.

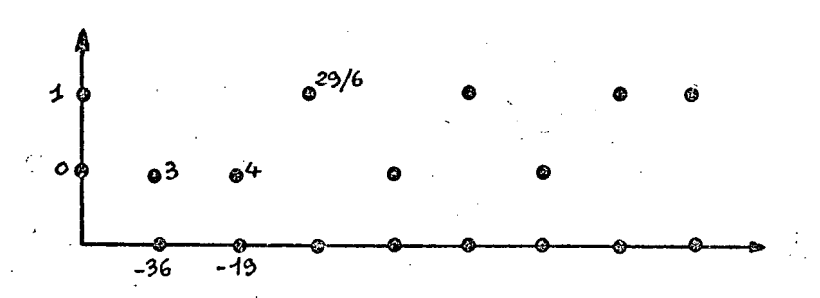
 $X_{o}$  conduit également à la solution exacte  $\Lambda$ , quoiqu'un peu moins vite. Si l'on projette en premier lieu q sur le plan des  $(y, X_{o})$ , on trouve du premier coup  $\Pi_{(y, X_{o})} = \Lambda$ . Mais il n'en est pas de même si l'on commence par le plan des  $(z, X_{o})$  ou des  $(x, X_{o})$ . Si l'on part de  $(z, X_{o})$  on obtient le trajet le plus long : en premier lieu,

$$Y_1 = \Pi_{(z,X_0)} q = X_0'$$

la première itération ne change pas  $X_0$ . Calculons ensuite  $Y_2 = \prod_{i=1}^{n} q_i$ . En axe  $(x, X_0)$ , chaque point a le volume 1, et  $\overline{q}(x, X_0)$  est :



de sorte qu'en axe  $(x, X_0)$ ,  $Y_2$  est :



(les points non marqués correspondent tous à  $Y_2 = 29/6 = 4,88$ ). En axe (x,y,z) cela donne :

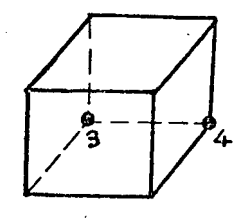
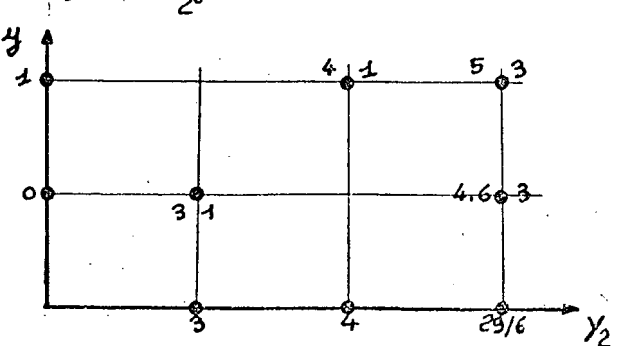


Fig. 9: 
$$Y_2 = \prod_{x \in X_0} q$$

 $(Y_2 = \frac{29}{6})$  sur les points non marqués).

Passons à  $Y_3 = \Pi_{Y_2y} q$ . En axes  $(Y_2,y)$ , on obtient:



(le premier chiffre est  $\overline{q}$ , le second  $\overline{V}$ ) et  $Y_3$  est identiquement  $Y_3 = E(q|Y_2,y) = \Lambda$ .

#### En conclusion

Au lieu de prendre pour  $X_{o}$  la projection sur l'un des plans de coordonnées, je suggère la procédure suivante :

 $\sim$  prendre la somme des  $\Gamma$ -minorants et la somme changée de signe des  $\Gamma$ -majorants de chaque point  $\xi$ :

$$X_{o}^{\prime}(\xi) = \int_{\Gamma^{\prime}(\xi)} q(\xi^{\prime}) \ V(d\xi^{\prime})$$

$$X_{o}^{\prime\prime}(\xi) = -\int_{\Gamma(\xi)} q(\xi^{\prime}) \ V(d\xi^{\prime})$$

et partir de l'approximation initiale :

$$X_{o} = \Pi(X_{o}, X_{o}) q$$

~ D'où Y<sub>1</sub> =  $\Pi$  q , Y<sub>2</sub> =  $\Pi$  q etc... jusqu'à un Y<sub>n</sub> = Y<sub>o</sub> suffisamment stabilisé (le critère est le ralentissement de la croissance de  $\|Y_n\|$ .

A titre de vérification, former

$$Z' = \Pi(X_0, Y_0)^{q}$$
;  $Z'' = \Pi(X_0, Y_0)^{q}$ 

et 
$$Z = \prod_{(X_0, Y_0)} q$$
.

Si l'un de ces trois éléments a une norme (significativement) plus forte que  $\|Y_0\|$ , faire une nouvelle itération en partant de cet élément (s'il y an a plusieurs, partir de celui dont la norme est la plus forte).

Une autre procédure possible consisterait à incorporer  $X_{o}$  à la séquence servant à faire l'itération :

$$Y_1 = \prod_{X_0} q$$
,  $Y_2 = \prod_{Y_1 y} q$ ,  $Y_3 = \prod_{Y_2 z} q$ 

puis  $Y_4 = \Pi$  q (au lieu de  $\Pi$  q) et ainsi de suite. C'est  $Y_3 X_0$   $Y_3 X_3$  l'expérience qui permettra de juger laquelle de ces deux procédures est la meilleure (on peut aussi les combiner de diverses manières).

#### 7 - RECHERCHE D'AUTRES ALGORITHMES.

Voici quelques autres possibilités, qui permettrant peut-être d'améliorer la procédure.

## a/ - Algorithme de l'ordre total.

On se place soit dans  $\mathbb{R}^2$  (coordonnées (x,y)) soit dans  $\mathbb{R}^3$  (coordonnées (x,y,z)) avec un ordre  $\Gamma$  défini par le quadrant ou l'octant positif.

On fait choix d'un ordre total, noté  $\geqslant$ , compatible avec  $\Gamma$  (i.e. :  $(x,y) \in \Gamma(x',y') \Rightarrow (x,y) \geqslant (x',y')$ . Par exemple, dans  $\mathbb{R}^2$ :

$$(x,y) \geqslant (x',y') \Leftrightarrow x > x', \text{ ou } x = x' \text{ et } y \ge y'$$

Soit  $\xi_1,\ \xi_2...\xi_N$  les points de E ordonnés par  $\geqslant$  . On amorce la récurrence en posant :

$$f_1(\xi_1) = q(\xi_1)$$
  
 $f_1(\xi_n) = 0$ ,  $n > 1$ 

Au stade n, on a une fonction  $f_n$  vérifiant

$$f_n(\xi_{n+1}) = ... = f_n(\xi_N) = 0$$

b/ 
$$f_n$$
 est  $\Gamma$ -croissante

c/ pour tout 
$$\lambda > 0$$
 tel que  $\{f_n(\xi) = \lambda\} \neq \emptyset$ , on a:  

$$\int_{f_n = \lambda} q(\xi) \ V(d\xi) = \int_{f_n = \lambda} f_n(\xi) \ V(d\xi) = \lambda \ V(\{f_n = \lambda\})$$

Construction de f<sub>n+1</sub>:

Soit  $q_{n+1}=(\xi_{n+1})$ . On compare  $\xi_{n+1}$  à ses deux majorants immédiats : l'un est  $\xi_n$ , l'autre un certain  $\xi_i$  (l'indice i>n dépend du cas de figure : mais, si  $\xi_{n+1}=(x,y)$ , alors  $\xi_i=(x,y+1)$ ).

Si 
$$q_{n+1} \le Inf (f_n(\xi_n), f_n(\xi_i), \text{ on pose :}$$

$$f_{n+1}(\xi_j) = f_n(\xi_j) \qquad j = 1, 2, \dots n$$

$$f_{n+1}(\xi_{n+1}) = q_{n+1}$$

$$f_{n+1}(\xi_{n+2}) = \dots = f_{n+1}(\xi_N) = 0$$

Si  $q_{n+1} > Inf (f_n(\xi_n), f_n(\xi_i)) = \lambda_0$ , désignons par  $C_0$  la classe  $\Gamma$ -connexe engendrée dans  $\{f_n = \lambda_0\}$  par le (ou les) majorants immédiats  $\xi_0(=\xi_i \text{ ou } \xi_n)$  de  $\xi_{n+1}$  tels que  $f_n(\xi_0) = \lambda_0$ .

Si, pour chaque  $\xi \in E$  de coordonnées (x,y) on désigne par  $S_{\xi}$  l'ensemble constitué par  $\xi = (x,y)$ , ses deux majorants immédiats (x+1, y) et(x, y+1) et ses deux minorants immédiats (x-1, y) et (x, y-1),  $C_0' \subset \{f_n = \lambda_0\}$  est donc la classe stable pour  $S_{\xi}$  engendrée par  $\xi_0$  dans  $\{f_n = \lambda_0\}$ .

On pose  $C_0 = \{\xi_{n+1}\} \cup C_0'$  et :

$$\lambda_{1} = \frac{Q(C_{o})}{V(C_{o})} = \frac{q_{n+1} + \int_{C_{o}} f_{n}(\xi) V(d\xi)}{\int_{C_{o}} V(d\xi)}$$

On compare ensuite  $\lambda_1$  à l'inf. de  $\mathbf{f}_n$  sur l'ensemble des majorants immédiats de  $\mathbf{C}_o$  : soit, en posant

$$s_{(x,y)} = \{(x+1, y), (x, y+1)\}$$

$$\lambda_1' = \inf \{f_n(\xi'), \xi' \in \bigcup_{\xi \in C_o} s_{\xi}\}$$

et on désigne par  $C_1$  la classe  $\Gamma$ -connexe engendrée dans  $\{f_n = \lambda_1^{\prime}\}$  par les  $\xi^{\prime} \in \bigcup \{s_{\xi}$  ,  $\xi \in C_0\}$ .

 $Si \lambda_1 \leq \lambda_1'$ , on posera :;

$$f_{n+1}(\xi) = \lambda_1 \qquad \xi \in C_0$$

$$f_{n+1}(\xi) = f_n(\xi)$$
  $\xi \notin C_0$ 

Si  $\lambda_1 > \lambda_1'$ ; on prendra

$$\lambda_2 = \frac{Q(C_0 \cup C_1)}{V(C_0 \cup C_1)} = \frac{\lambda_1 V(C_0) + \lambda_1^{\prime} V(C_1)}{V(C_0) + V(C_1)}$$

On formera ensuite  $\lambda_2$  et la classe  $C_2$ - $\Gamma$ -connexe, etc...

Cette procédure n'est pas infaillible, en ce sens qu'elle ne conduit pas tout-à-fait à  $\Pi(x,y)$  q, mais à une fonction f qui en diffèrera en général fort peu.

On peut alors améliorer les choses en formant de manière analogue f' en utilisant l'autre ordre total :

$$(x,y) \gg (x',y') \Leftrightarrow$$
ou  $y = y'$  et  $x \ge x'$ 

Si f = f', on doit avoir une excellente approximation de  $\Lambda$  si  $f \neq f'$ : on peut passer en axes (f;f') et appliquer une seconde fois la procédure approchée ci-dessus. Cela donnera deux nouvelles approximations g et g', etc...

Dans  $\mathbb{R}^3$ , la même procédure est en principe applicable (mais plus lourde, du fait que chaque  $\xi$  a maintenant 3 majorants immédiats). Comme il y a cette fois trois ordres totaux, on aboutit à 3 approximations f, f', f", puis, en passant en axes (f, f', f") trois nouvelles approximations (g, g', g") etc...

REMARQUE: Utilisée dans  $\mathbb{R}^2$ , cette procédure permet de calculer les itérations:

$$Y_1 = \Pi_{(x,X_0)}^q$$
,  $Y_2 = \Pi_{(y,Y_1)}^q$ ,  $Y_3 = \Pi_{(z,Y_2)}^q$ ,...

jusqu'à un  $Y_n$  stabilisé  $(Y_n \ \# \ Y_o)$ . Elle ne supprime pas la nécessité de recourir à cette itération.

Au contraire, si on l'utilise dans  $\mathbb{R}^3$ , on obtient, au prix d'une procédure plus lourde, mais en une seule fois une approximation de  $\Pi_{(x,y,z)}^{q}$ 

## b/ - Utilisation de Cônes linéaires.

On a désigné par  $\mathcal{G}(X_1,\dots X_p)$  le cône convexe constitué des fonctions  $f(X_1,\dots X_p)$  où f est une fonction croissante de chacun de ses arguments.

On peut aussi considérer le sous-cône beaucoup plus simple constitué des combinaisons linéaires à coefficients positifs des

fonctions 1, -1 et  $X_1, ... X_p$ . Nous désignerons par  $\mathcal{L}(X_1, ... X_p)$  ce cône linéaire positif :

$$f \in \mathcal{G}(X_1, \dots X_p) \Leftrightarrow f = C + \sum \lambda_i X_i \qquad (\lambda_i \ge 0)$$

(C est une constante positive ou non).

Si p n'est pas très élevé, on peut former rapidement la projection de q sur le cône linéaire, soit

$$f_1 = \pi_{\mathcal{L}(X_1, \dots, X_p)}^{q}$$

La procédure est la suivante (il en existe peut-être de meilleures) :

Former les  $\alpha_i$  minimisant  $\|\mathbf{q} - \overline{\mathbf{q}} - \sum_{i=1}^{p} \alpha_i (\mathbf{X}_i - \overline{\mathbf{X}}_i)\|^2$   $(\overline{\mathbf{f}} = \frac{1}{V(E)} \int_{E} \mathbf{f}(\xi) \ V(d\xi))$ 

Si les  $\alpha_i$  sont tous  $\geq 0$ ,  $\alpha_i = \lambda_i$  et

$$f_1 = \prod_{\alpha} q = \overline{q} + \sum \alpha_i (X_i - \overline{X}_i)$$

Si les  $\alpha_i$  ne sont pas tous nuls, résoudre les p-systèmes obtenus en supprimant soit  $X_1$ , soit  $X_2$  etc... Si l'un ou plusieurs donnent des  $\alpha_i$  tous  $\geq 0$ , le meilleur d'entre eux est  $f_1$ . Si aucun des systèmes ne donne des  $\alpha_i$  tous positifs, résoudre les p(p-1)/2 systèmes obtenus en enlevant deux fonctions  $X_i$ , etc... Pour p de l'ordre de 4 ou 5 ceci doit être très rapide.

On améliore ensuite  $f_1$  en projetant q sur  $\mathcal{G}(f_1)$ , problème à une seule dimension tout à fait simple : sur  $\{f_1=\lambda\}$ , on pose  $g_1=\int\limits_{\{f_1=\lambda\}}q$ . Cette fonction

$$g_1 = \pi_{g'(f_1)}^q$$

peut servir d'approximation initiale  $X_0 = g_1$  a une procédure d'itération du type ci-dessus.

On peut aussi penser à des itérations du type :

$$f_2 = \Pi_{\mathcal{L}(X_1, \dots, X_p, g_1)} q$$

$$g_2 = \Pi_{\mathcal{L}(f_2)} q$$

(mais il n'est pas sur que l'on obtienne des améliorations notables).

Ceci pourrait être essayé à deux dimensions (comme substitut éventuel à la programmation dynamique). On partirait de 4 fonctions : les 2 coordonnées x et y et les deux fonctions

$$X_{o}^{"} = \int_{\Gamma'(\xi)} q(\xi') \ V(d\xi')$$

$$X_{o}^{"} = -\int_{\Gamma(\xi)} q(\xi') \ V(d\xi')$$

D'où

$$f_1 = \prod_{\mathcal{L}(x,y,X_0',X_0')} q$$

$$g_1 = \prod_{\mathcal{L}(f_1)} q$$

etc...